

AUTOMATICKÉ RIADENIE 1

1. prednáška

Spojité riadenie

Prednášky a cvičenia zabezpečuje:

Jana Paulusová, ÚRK, D-411

jana.paulusova@stuba.sk

Obsah prednášok

1. Spojité riadenie - OPAKOVANIE
2. **DISKRÉTNE RIADENIE – úvod**
3. **Návrh PSD regulátora a stabilita URO**
4. **Dead Beat regulátor**
5. **Inverzná dynamika + Poleplacement**
6. **Diskrétny stavový opis systému**
7. **Diofantické rovnice a ich riešenie**
Časovo optimálne stabilné riadenie – SLABÁ verzia
8. **Časovo optimálne stabilné riadenie – SILNÁ verzia**
9. **Časovo optimálne stabilné riadenie s obmedzením akčného zásahu**
10. **Časovo optimálne stabilné riadenie s použitím dvoch regulátorov**
11. **Časovo optimálne stabilné riadenie s využitím kvadratického regulátora**
12. **Konzultácia ku skúške**

Hodnotenie predmetu

Cvičenia – max. 50 bodov

PROJEKT - Každý študent dostane zadanú spojitú prenosovú funkciu opisujúcu reálny technologický proces a postupne vypracuje úlohy podľa zadaní na jednotlivých cvičeniach. Vypracovaný projekt treba odovzdať:

- **1. časť** odovzdať (vypracované zadania cv. 1.-6. na **7. cvičení**)
- **2. časť** odovzdať (vypracované zadania 7.-11. na **12. cvičení**)

Podmienka udelenia zápočtu:

min. 25 b (odovzdaný projekt) + aktívna účasť na cvičeniach

Skúška (písomná) – max. 50 bodov

Spolu – max. 100 bodov

Študijné materiály

- **prof. Kozák: Lineárne číslicové systémy I.**
- **prof. Kozák: Lineárne číslicové systémy I.**

PRÍKLADY NA CVIČENIA

Návrh regulátorov

- **prednášky Automatické riadenie 1**

(v nadväznosti na Úvod do kybernetiky)

- **AIS** priečninok **PREDNASKY** – materiály k prednáškam
- **AIS** priečninok **CVICENIA** – materiály ku cvičeniam

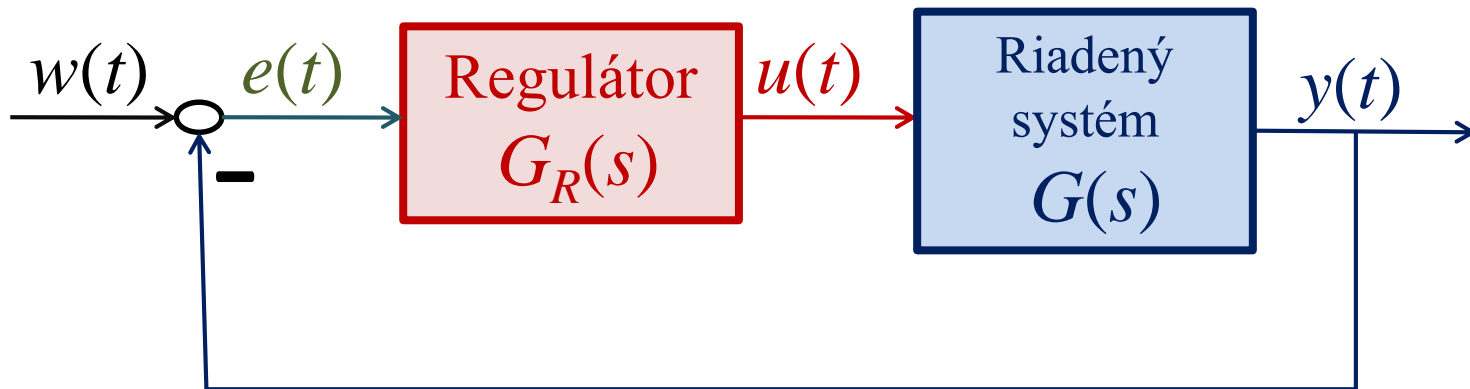
1. prednáška - OPAKOVANIE

Základný regulačný obvod

- uzavretý regulačný obvod (**URO**) a otvorený regulačný obvod (**ORO**)
- opis systému pomocou prenosovej funkcie
- model riadeného systému - jeho opis, prechodová charakteristika a frekvenčná charakteristika
- prenosové funkcie ORO a URO
- charakteristická rovnica **URO** (**CHRURO**)
- stabilita a kvalita URO
- štruktúra PID regulátora

Metódy návrhu PID regulátorov pre systémy s dopravným oneskorením

Základný regulačný obvod



$G(s)$ – prenosová funkcia riadeného systému

$G_R(s)$ – prenosová funkcia regulátora

$w(t)$ – žiadaná hodnota (referenčná veličina)

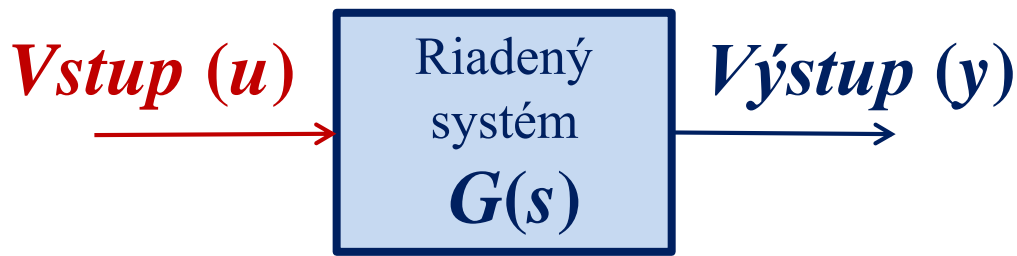
$u(t)$ – akčná veličina

$e(t)$ – regulačná odchýlka

$y(t)$ – riadená (výstupná) veličina

$$e(t) = w(t) - y(t)$$

Prenosová funkcia riadeného systému $G(s)$



SISO systém
(Single Input – Single Output)

RIADENÝ SYSTÉM je reprezentovaný pomocou definície všeobecného dynamického systému, pričom jeho vstupmi sú suroviny a vstupná energia a výstupom je výstupná energia a finálny produkt.

PRENOSOVÁ FUNKCIA systému je podiel Laplaceovho obrazu výstupnej veličiny k obrazu vstupnej veličiny pri nulových počiatkových podmienkach.

$$G(s) = \frac{Y(s)}{U(s)} = \frac{b_m s^m + b_{m-1} s^{m-1} + \dots + b_0}{a_n s^n + a_{n-1} s^{n-1} + \dots + a_0}$$

Prechodová charakteristika systému

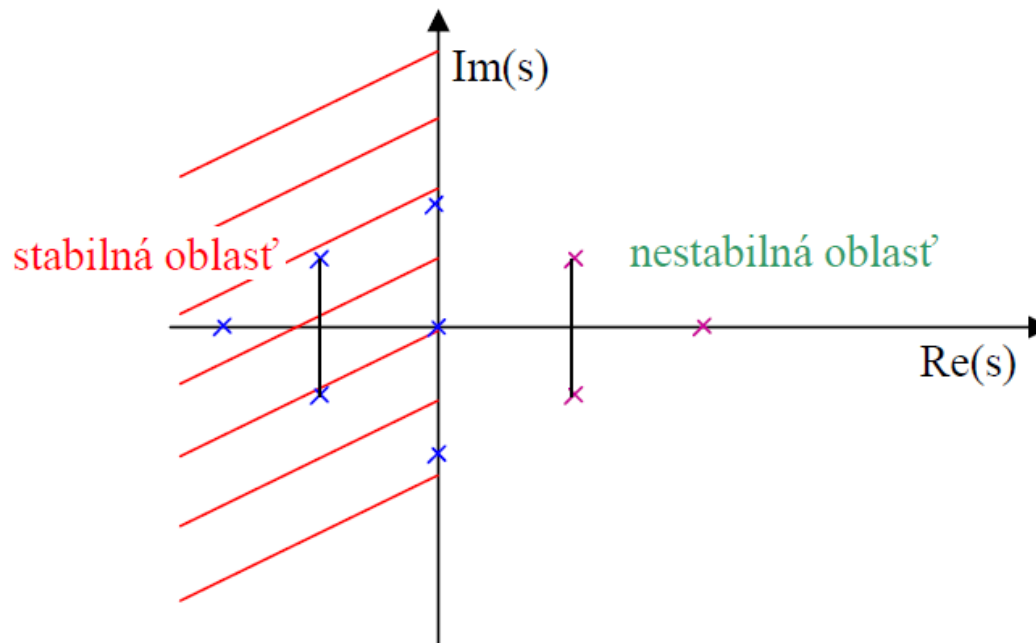
Def.: Prechodová funkcia je odozva systému na jednotkový skok (na vstupe) pri nulových počiatočných podmienkach. Označujeme ju $y(t)$. Jej grafickým znázornením je **prechodová charakteristika**.

Vzhľadom na to, že skoková funkcia vyjadruje plné frekvenčné spektrum, je informácia získaná analýzou **prechodových charakteristík** veľmi významná a spolu s informáciami získanými z **frekvenčných charakteristík** v plnej miere charakterizuje **dynamické vlastnosti systému**.

Stabilita riadeného systému

$$G(s) = \frac{B(s)}{A(s)} = \frac{b_m s^m + b_{m-1} s^{m-1} + \dots + b_0}{a_n s^n + a_{n-1} s^{n-1} + \dots + a_0}$$

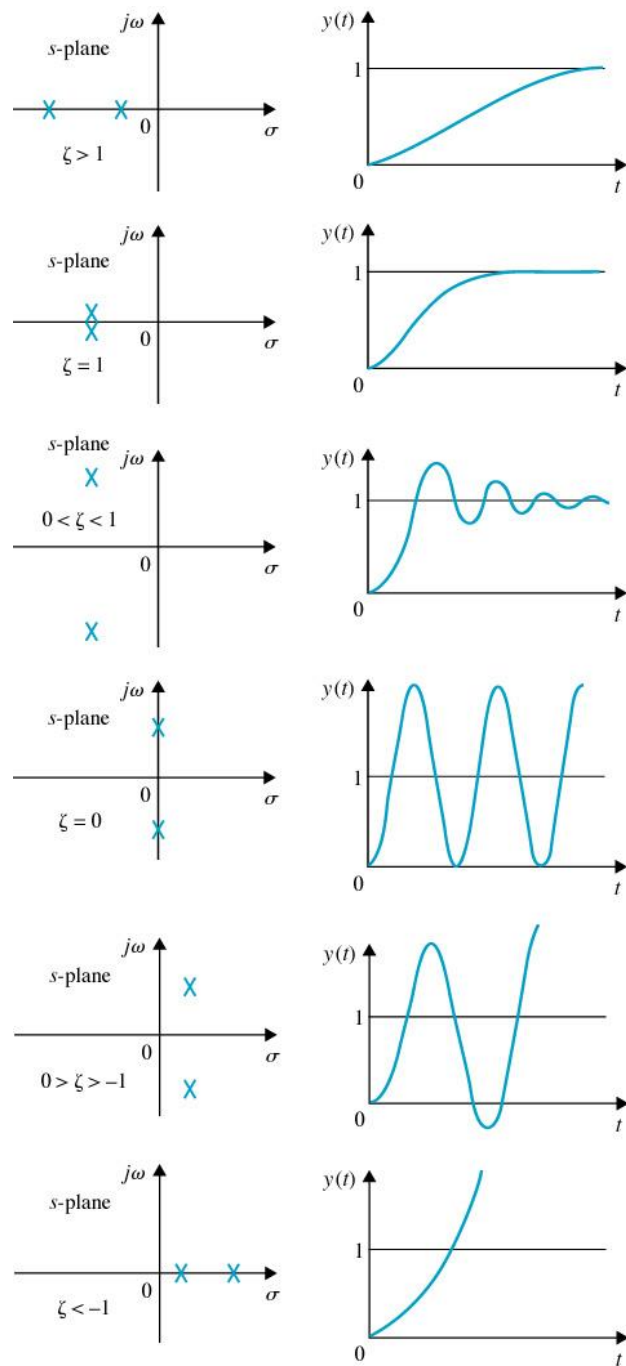
Riadený systém je stabilný, keď majú **všetky jeho póly** (korene menovateľa $A(s)$) **zápornú reálnu časť**. Od polohy pólov riadeného systému závisí aj priebeh prechodovej charakteristiky riadeného systému.



**Priebeh prechodovej charakteristiky
riadeného systému závisí od polohy
jeho pólov v komplexnej rovine.**

Na obrázku sú uvedené príklady
priebehov prechodových charakteristík
systému 2. rádu s menovateľom:

$$A(s) = s^2 + 2\zeta s + 1$$



System s dopravným oneskorením **D**

$$G(s) = \frac{Y(s)}{U(s)} = \frac{b_m s^m + b_{m-1} s^{m-1} + \dots + b_0}{a_n s^n + a_{n-1} s^{n-1} + \dots + a_0} e^{-Ds}$$

Dopravné oneskorenie je jav, ktorý sa v zariadeniach chemických, potravinárskych a iných technológií vyskytuje veľmi často. Objavuje sa vždy, ak dochádza k transportu látky. Vzniká v dôsledku konečnej rýchlosti pohybu materiálov a konečnej rýchlosti prenosu signálov. Je definované ako čas transportu látky z technologického zariadenia do automatického analyzátora, ktorý býva spojený s technologickým zariadením potrubím. Týmto potrubím sa do automatického analyzátora dopravuje analyzovaná látka z technologického zariadenia.

System je minimálne fázový, ak majú všetky jeho nuly zápornú reálnu časť, inak je neminimálne fázový. **System s dopravným oneskorením je neminimálne fázový.**

Existuje niekoľko spôsobov aproximácie dopravného oneskorenia:

1. Padeho aproximácia

$$e^{-Ds} = \frac{e^{-\frac{D}{2}s}}{e^{\frac{D}{2}s}}$$

Aproximácia je vyjadrená ako pomer dvoch polynómov s rozvojom do Taylorovho radu

$$e^{-Ds} \approx \frac{P_n(s)}{Q_n(s)} = \frac{\sum_{n=0}^{\infty} (-1)^n \frac{n!}{(2n)!} D^n s^n}{\sum_{n=0}^{\infty} \frac{n!}{(2n)!} D^n s^n} = \frac{1 - \frac{D}{2}s + \frac{D^2}{12}s^2 - \frac{D^3}{120}s^3 + \dots}{1 + \frac{D}{2}s + \frac{D^2}{12}s^2 + \frac{D^3}{120}s^3 + \dots}$$

Najčastejšie používame $n=1$, (kvôli realizácii)

Pre $n=1$

$$e^{-Ds} \approx \frac{1 - \frac{sD}{2}}{1 + \frac{sD}{2}}$$

2. Aproximácia Tayl. radom iba čitateľa:

$$e^{-Ds} \approx \sum_{n=0}^{\infty} (-1)^n \frac{D^n}{n!} s^n = 1 - Ds + \frac{D^2}{2} s^2 - \frac{D^3}{3!} s^3 + \dots$$

pre $n=1$

$$e^{-Ds} \approx 1 - Ds$$

3. Aproximácia Tayl. radom iba menovateľa:

$$e^{-Ds} = \frac{1}{e^{sD}} \approx \frac{1}{\sum_{n=0}^{\infty} \frac{D^n}{n!} s^n} = \frac{1}{1 + Ds + \frac{D^2}{2} s^2 + \frac{D^3}{3!} s^3 + \dots}$$

pre $n=1$

$$e^{-Ds} \approx \frac{1}{1 + Ds}$$

Príklad aproximácie

$$G(s) = \frac{1}{20s + 1} e^{-10s}$$

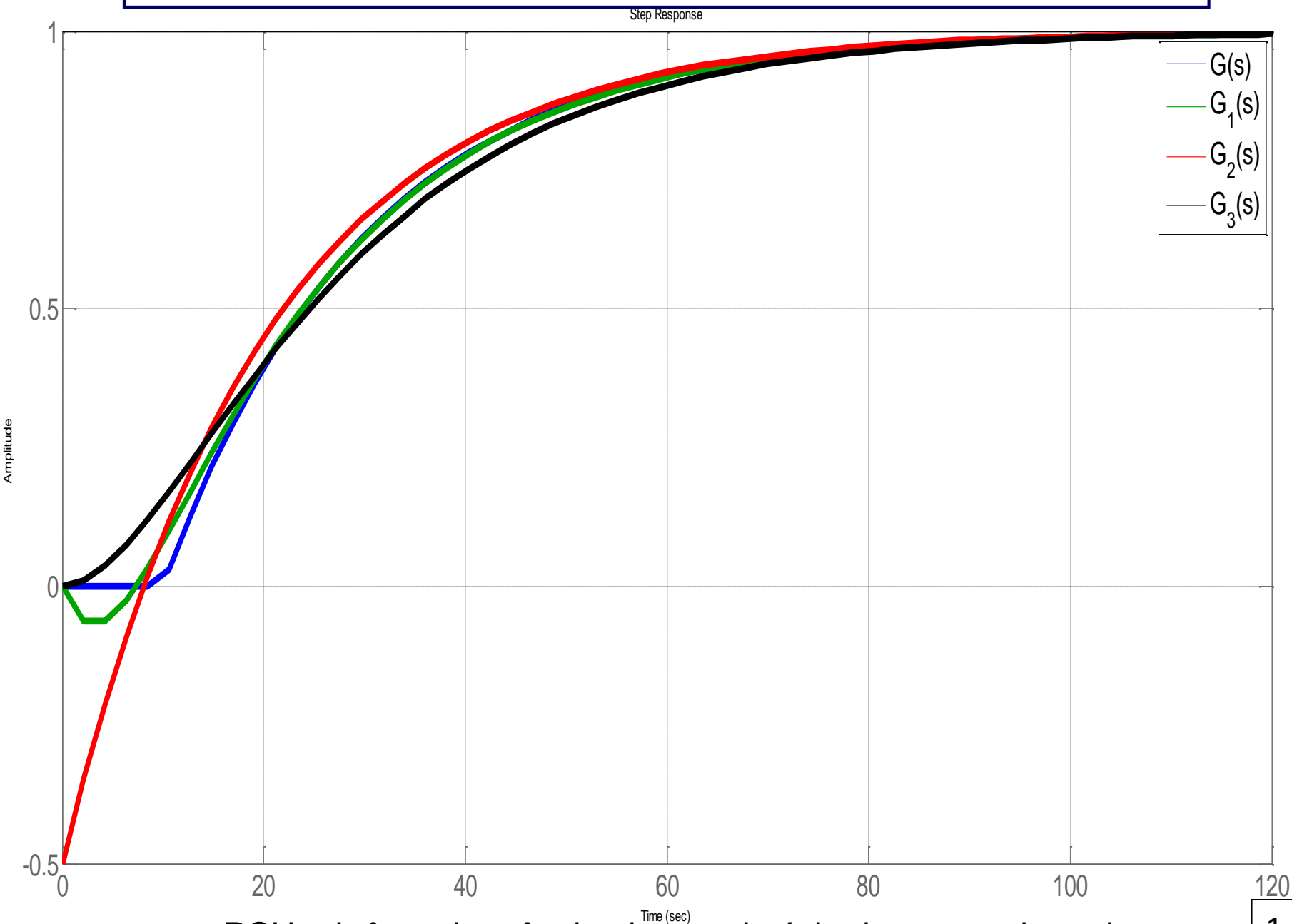
$$G_1(s) = \frac{1}{20s + 1} \frac{1 - \frac{10}{2}s}{1 + \frac{10}{2}s} = \frac{1 - 5s}{100s^2 + 25s + 1}$$

$$G_2(s) = \frac{1}{20s + 1} (1 - 10s) = \frac{1 - 10s}{20s + 1}$$

$$G_3(s) = \frac{1}{20s + 1} \frac{1}{1 + 10s} = \frac{1}{200s^2 + 30s + 1}$$

Vnáša nestabilnú „nulu“

Aproximácia dopravného oneskorenia (3/3)



PCH pri rôznych spôsoboch aproximácie dopr. oneskorenia

Frekvenčná charakteristika systému

Frekvenčná prenosová funkcia opisuje správanie sa lineárneho systému pri pôsobení harmonického vstupného signálu

$$u(t) = \sin \omega t,$$

ktorého obraz v Laplaceovej transformácii je

$$U(s) = \frac{\omega}{s^2 + \omega^2}.$$

Frekvenčná prenosová funkcia je definovaná ako podiel Fourierových obrazov výstupnej a vstupnej veličiny pri nulových počiatočných podmienkach.

$$G(j\omega) = \frac{Y(j\omega)}{U(j\omega)} = |G(j\omega)| e^{j \arg G(j\omega)} = \operatorname{Re}\{G(j\omega)\} + j \operatorname{Im}\{G(j\omega)\}$$

Grafické znázornenie frekvenčnej prenosovej funkcie sa nazýva frekvenčná charakteristika.

Frekvenčné charakteristiky sa zakresľujú do **komplexnej roviny** alebo do **logaritmických súradníc**.

Frekvenčná char. v komplexnej rovine (Nyquistove char.)

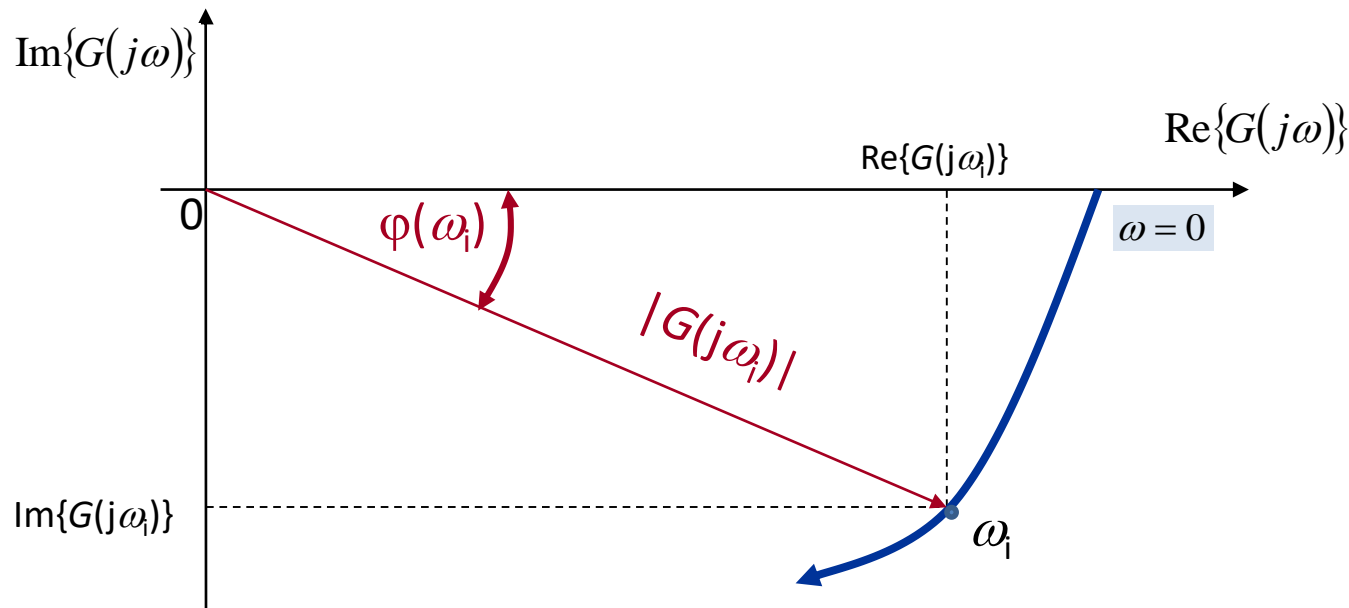
$$G(j\omega) = \frac{Y(j\omega)}{U(j\omega)} = |G(j\omega)| e^{j \arg G(j\omega)} = \operatorname{Re}\{G(j\omega)\} + j \operatorname{Im}\{G(j\omega)\}$$

$$|G(j\omega)| = \sqrt{(\operatorname{Re}\{G(j\omega)\})^2 + (\operatorname{Im}\{G(j\omega)\})^2}$$

$$\varphi(\omega) = \arg G(j\omega) = \arctg \frac{\operatorname{Im}\{G(j\omega)\}}{\operatorname{Re}\{G(j\omega)\}}$$

→ Modul frekvenčného prenosu

→ Fázový posun



Frekvenčná char. v komplexnej rovine – príklad (1/3)

Pr.: Určte frekvenčnú charakteristiku v komplexnej rovine pre prenosovú funkciu:

$$G(s) = \frac{Y(s)}{U(s)} = \frac{1}{Ts + 1}$$

Ak za s dosadíme $j\omega$ dostaneme frekvenčný prenos danej sústavy

$$G(j\omega) = \frac{1}{jT\omega + 1}$$

Pre zobrazenie frekvenčnej charakteristiky potrebujeme $G(j\omega)$ rozpísať na **reálnu** a **imaginárnu** časť:

$$G(j\omega) = \frac{1}{jT\omega + 1} \left(\frac{1 - jT\omega}{1 - jT\omega} \right) = \frac{1 - jT\omega}{1 + T^2\omega^2} = \frac{1}{1 + T^2\omega^2} + j \frac{(-T\omega)}{1 + T^2\omega^2}$$

$$\operatorname{Re}\{G(j\omega)\} = \operatorname{Re}$$

$$\operatorname{Im}\{G(j\omega)\} = \operatorname{Im}$$

Frekvenčná char. v komplexnej rovine – príklad (2/3)

$$G(j\omega) = \frac{1}{1+T^2\omega^2} + j \frac{(-T\omega)}{1+T^2\omega^2}$$

Pre príslušné ω si určíme $G(j\omega)$

$$\omega \in \langle 0, \infty \rangle$$

$$\omega = 0 \quad G(j\omega) = 1$$

$$\omega \rightarrow \infty \quad G(j\omega) = 0$$

$$\omega = \frac{1}{T} \quad G(j\omega) = \frac{1}{2} - j \frac{1}{2} = \sqrt{\frac{1}{2}} e^{-j\frac{\pi}{4}}$$

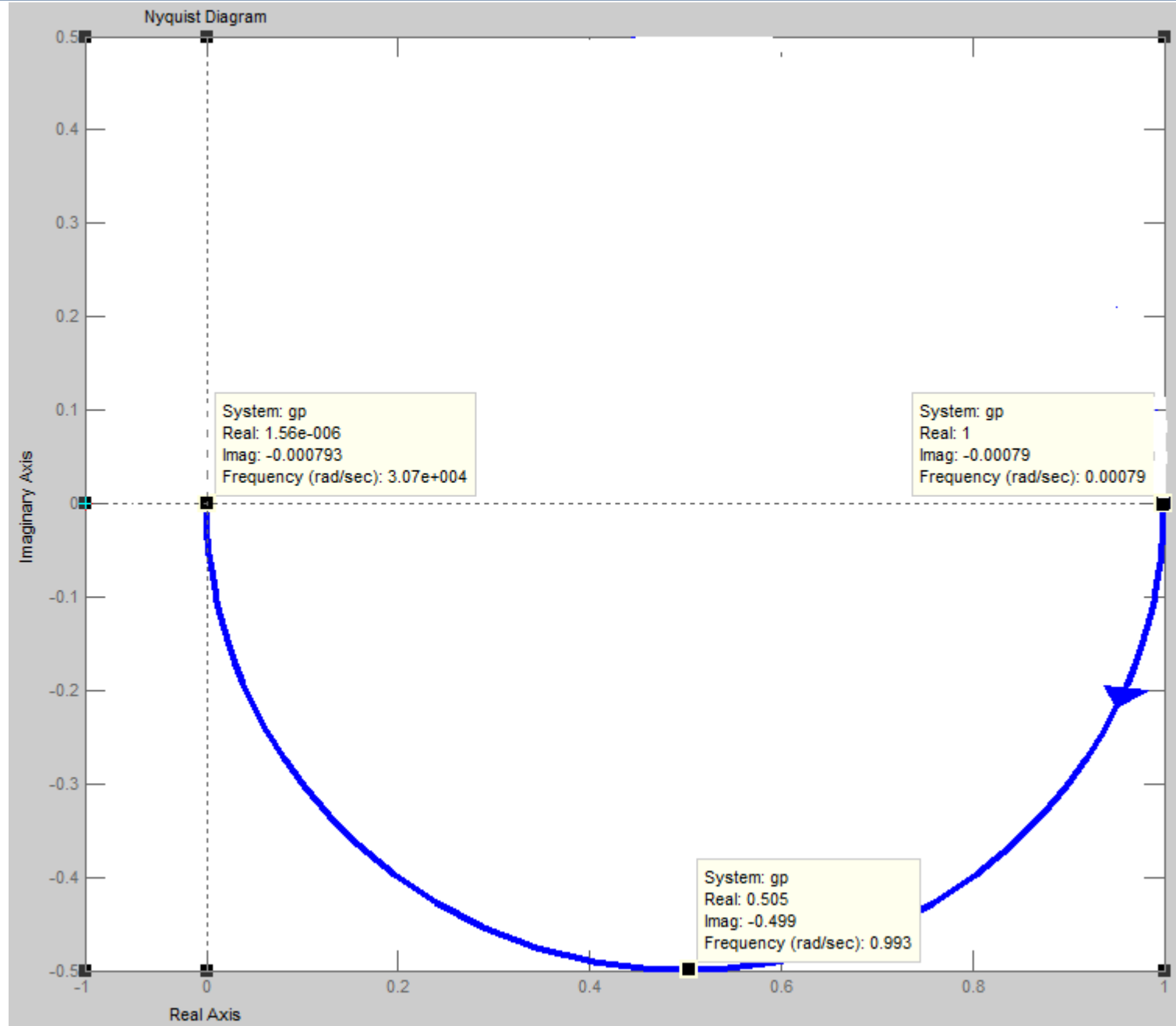
Frekvenčná charakteristika bude mať tvar **polkružnice** s **polomerom 0.5**. Začína **v bode (1, j0)**, pretože **zosilnenie prenosovej funkcie je 1**.

Na nasledovnom obr. (str. 1-17) je priebeh frekvenčnej charakteristiky pre prenosovú funkciu

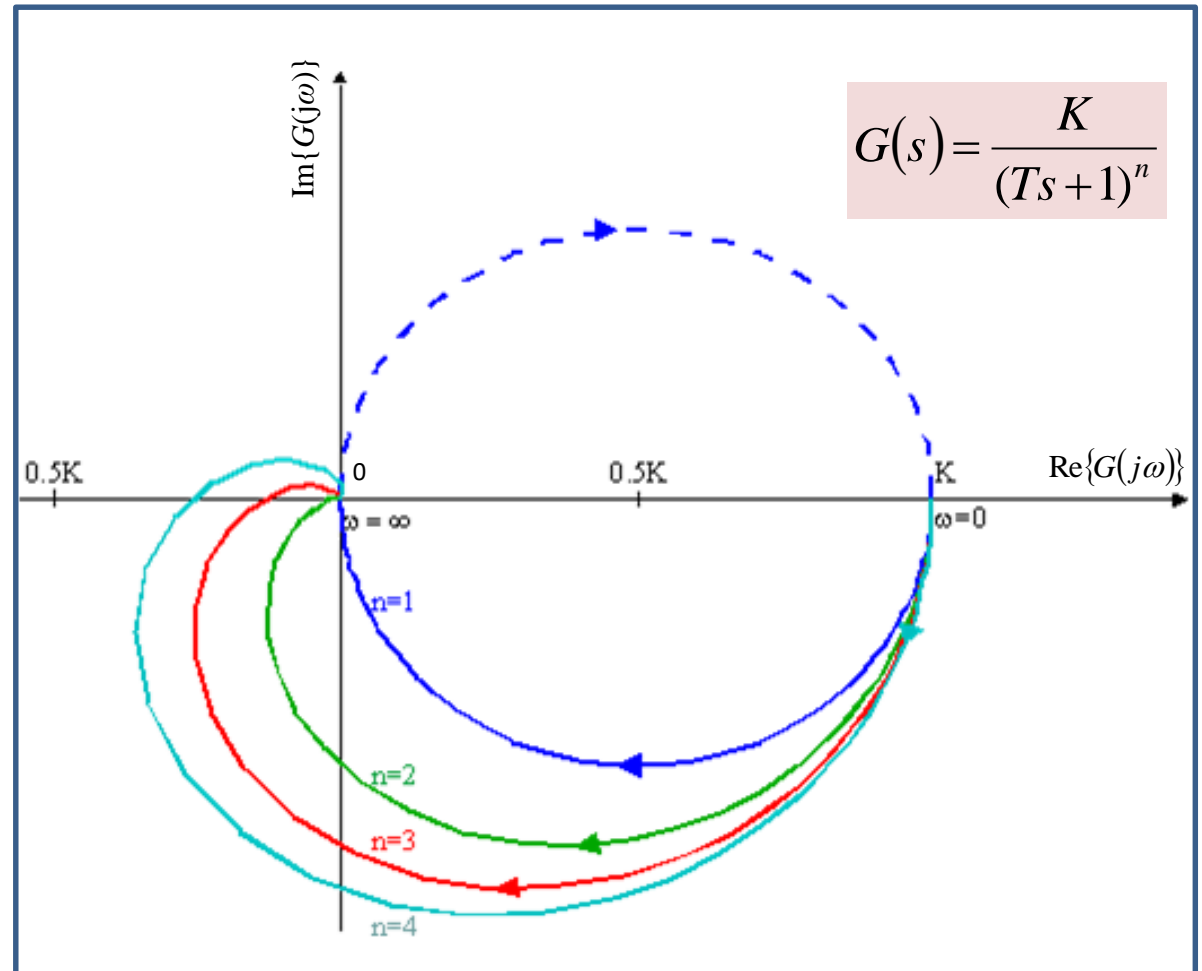
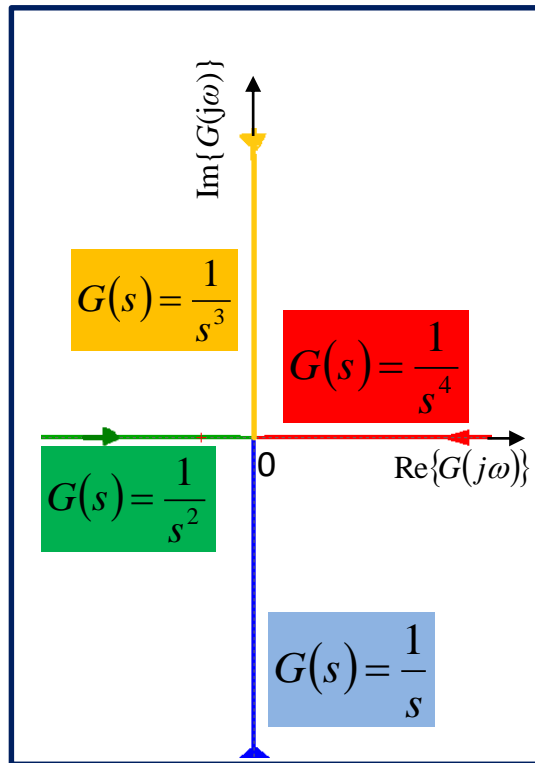
$$G(s) = \frac{Y(s)}{U(s)} = \frac{1}{Ts+1}$$

$$T=1$$

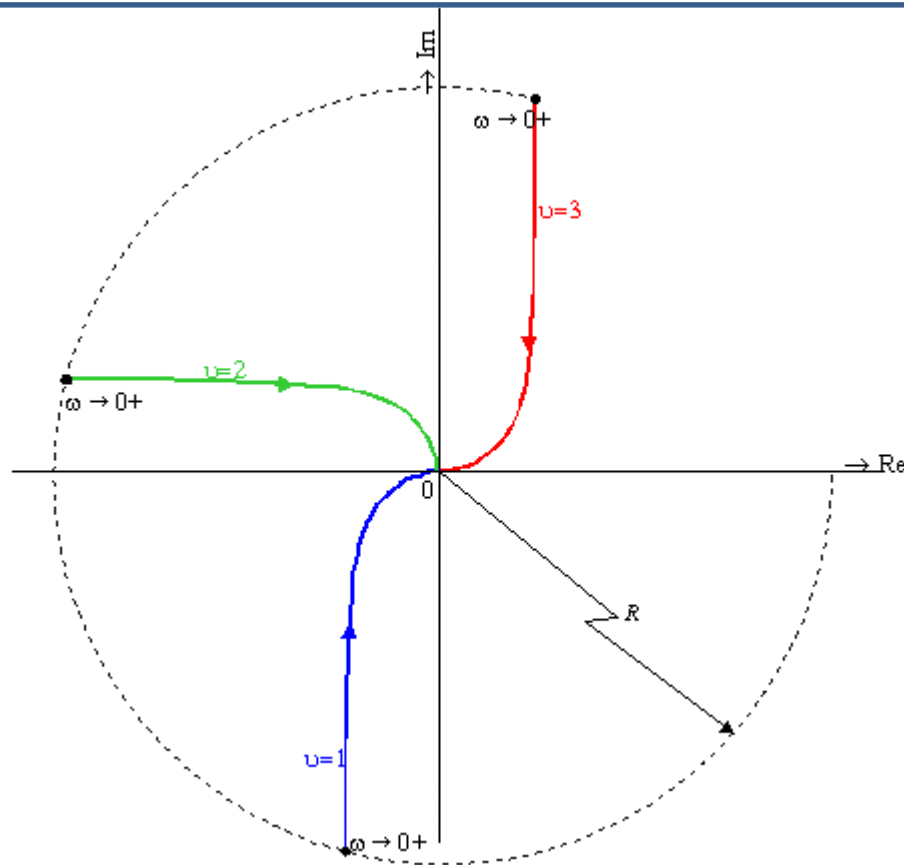
Frekvenčná char. v komplexnej rovine – príklad (3/3)



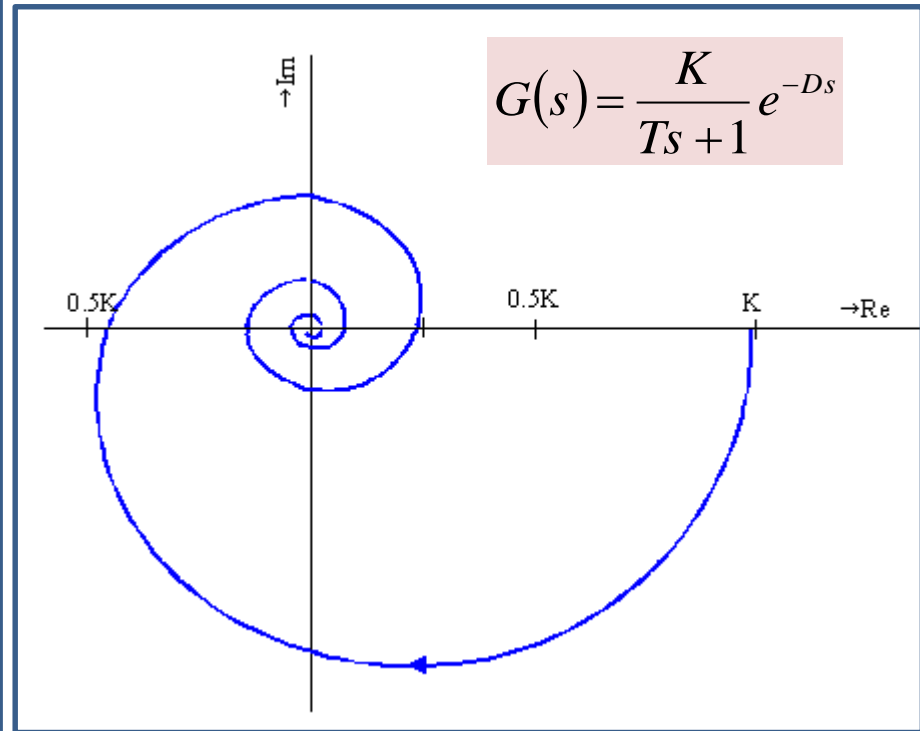
Príklady frekvenčných char. v komplexnej rovine



Príklady frekvenčných char. v komplexnej rovine – pokrač.



$$G(s) = \frac{K}{s^v (Ts + 1)}$$



$$G(s) = \frac{K}{Ts + 1} e^{-Ds}$$

Frekvenčné char. v logaritmických súradniciach (Bodeho diagram)

Prenosová funkcia

$$G(s) = \frac{Y(s)}{U(s)} = \frac{b_m s^m + b_{m-1} s^{m-1} + \dots + b_0}{a_n s^n + a_{n-1} s^{n-1} + \dots + a_0}$$

Frekvenčný prenos
($s=j\omega$)

$$G(j\omega) = \frac{Y(j\omega)}{U(j\omega)} = |G(j\omega)| e^{j \arg G(j\omega)} = \operatorname{Re}\{G(j\omega)\} + j \operatorname{Im}\{G(j\omega)\}$$

Modul frekvenčného prenosu

$$|G(j\omega)| = \sqrt{(\operatorname{Re}\{G(j\omega)\})^2 + (\operatorname{Im}\{G(j\omega)\})^2}$$

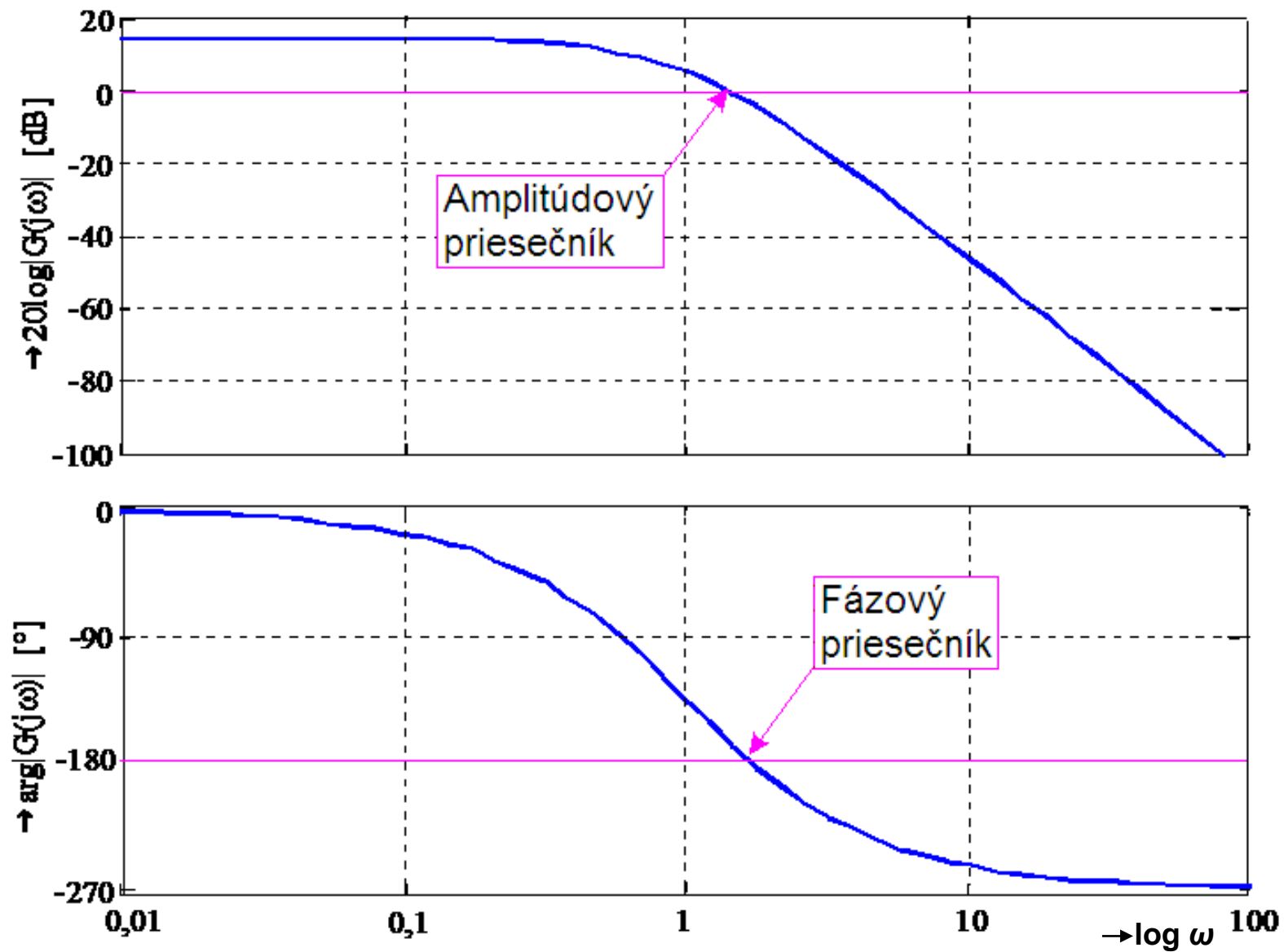
Fázový posun

$$\varphi(\omega) = \arg G(j\omega) = \operatorname{arctg} \frac{\operatorname{Im}\{G(j\omega)\}}{\operatorname{Re}\{G(j\omega)\}}$$

Amplitúdovou frekvenčnou charakteristikou (ALFCH) budeme nazývať čiaru v systéme súradníc, ktorá vyjadruje závislosť dvadsaťnásobku dekadického logaritmu modulu frekvenčnej prenosovej funkcie $20 \log |G(j\omega)|$, ktorého jednotkou je decibel (dB), na dekadickom logaritme kruhovej frekvencie $\log \omega$.

Fázová logaritmická frekvenčná charakteristika (FLFCH) vyjadruje závislosť argumentu frekvenčnej prenosovej funkcie, ktorého jednotkou je stupeň, na dekadickom logaritme kruhovej frekvencie $\log \omega$.

Amplitúdová (hore) a fázová (dole) logaritmicko frekvenčná charakteristika



Frekvenčná char. v logaritmických súradniciach – príklad (1/3)

Pr.: Určte frekvenčnú charakteristiku v logaritmických súradniciach pre prenosovú funkciu:

$$G(s) = \frac{Y(s)}{U(s)} = \frac{1}{Ts + 1} \quad \xrightarrow{\mathbf{s=j\omega \text{ frekvenčný prenos}}} \quad G(j\omega) = \frac{1}{jT\omega + 1}$$

$$G(j\omega) = \frac{1}{1 + T^2\omega^2} + j \frac{(-T\omega)}{1 + T^2\omega^2} = \operatorname{Re}\{G(j\omega)\} + j \operatorname{Im}\{G(j\omega)\}$$

Modul a fázový posun frekvenčného prenosu

$$|G(j\omega)| = \sqrt{(\operatorname{Re}\{G(j\omega)\})^2 + (\operatorname{Im}\{G(j\omega)\})^2} = \sqrt{\frac{1}{1 + T^2\omega^2}}$$

$$\varphi(\omega) = \arg G(j\omega) = \operatorname{arctg} \frac{\operatorname{Im}\{G(j\omega)\}}{\operatorname{Re}\{G(j\omega)\}} = \operatorname{arctg}(-T\omega)$$

Potrebuje získať hodnotu modulu v dB, teda

$$20 \log |G(j\omega)| = 20 \log \sqrt{\frac{1}{1 + T^2\omega^2}}$$

Frekvenčná char. v logaritmických súradniciach – príklad (2/3)

$$20 \log |G(j\omega)| = 20 \log \sqrt{\frac{1}{1+T^2\omega^2}}$$

$$\varphi(\omega) = \arg G(j\omega) = \operatorname{arctg}(-T\omega)$$

Pre príslušné ω si určíme **$20 \log G(j\omega)$** [dB] a **$\arg G(j\omega)$** [°]

$$\omega \in \langle 0, \infty \rangle$$

$$\omega = 0 \quad 20 \log |G(j\omega)| = 20 \log 1 = 0 \text{ dB}$$

$$\arg G(j\omega) = \operatorname{arctg}(0) = 0^\circ$$

$$\omega \rightarrow \infty \quad 20 \log |G(j\omega)| = 20 \log 0 = -\infty \text{ dB}$$

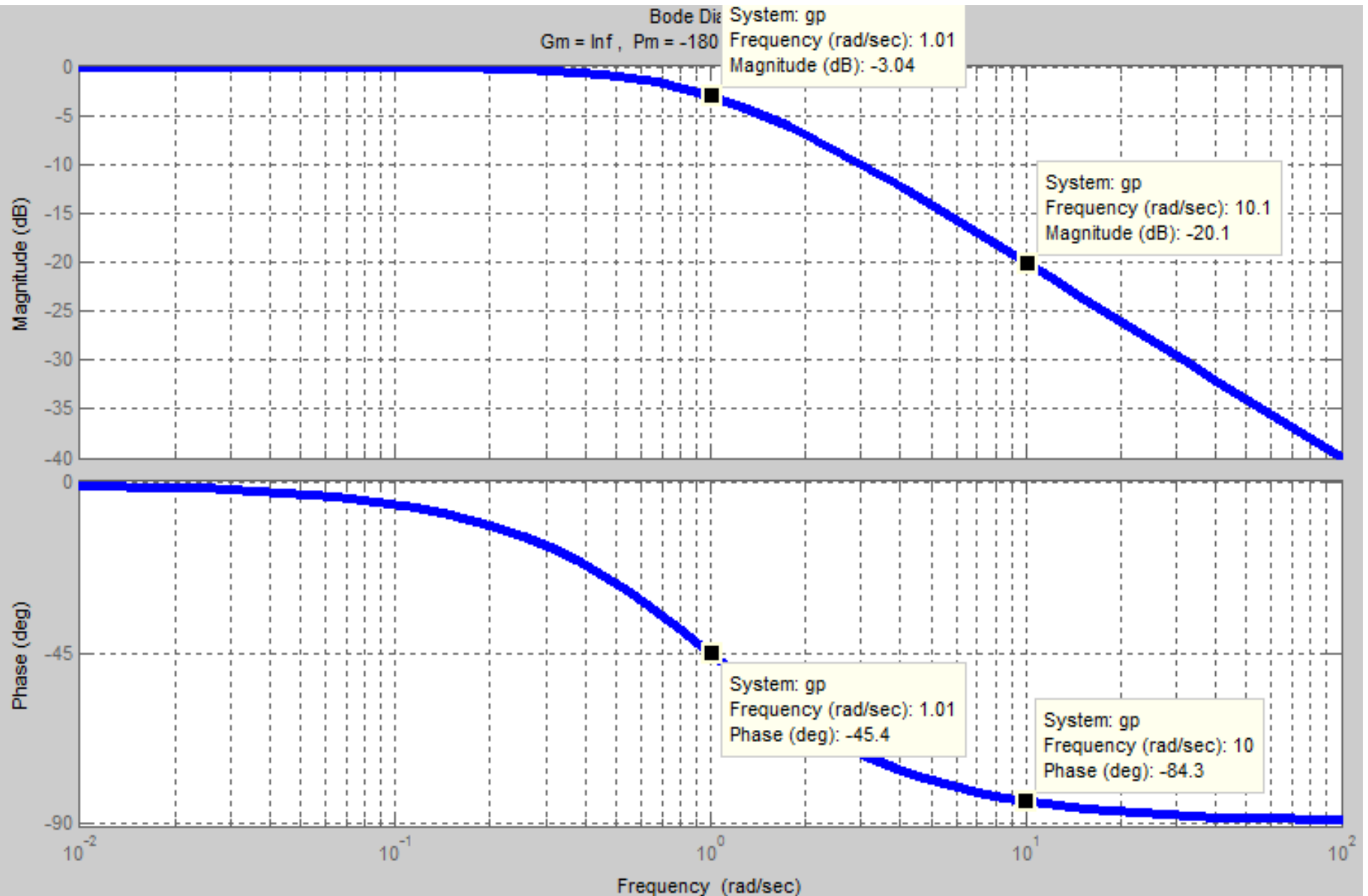
$$\arg G(j\omega) = \operatorname{arctg}(-\infty) = -90^\circ$$

$$\omega = \frac{1}{T} \quad 20 \log |G(j\omega)| = 20 \log \sqrt{0.5} = -3.0103 \text{ dB} \quad \arg G(j\omega) = \operatorname{arctg}(-1) = -45^\circ$$

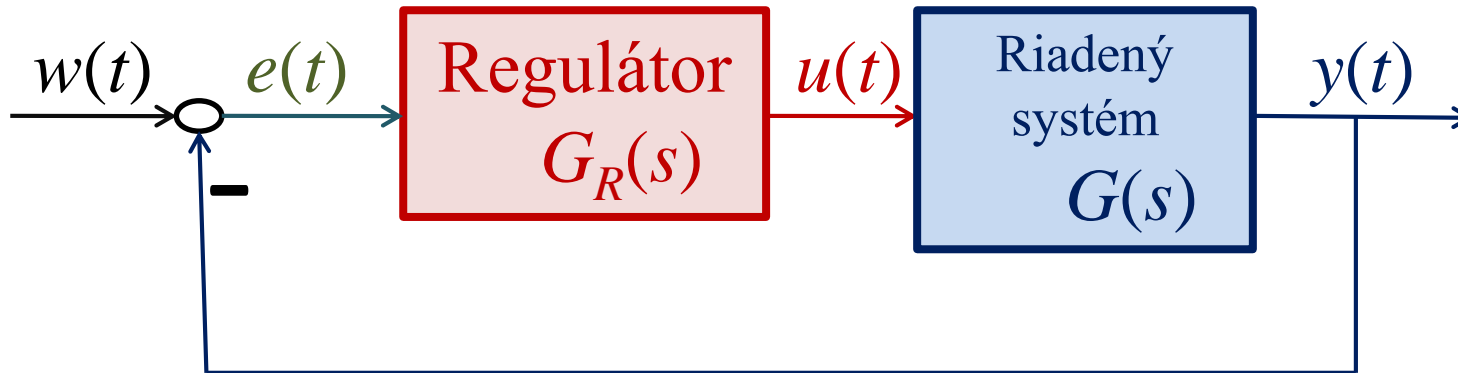
$$\omega = 10 \quad 20 \log |G(j\omega)| = 20 \log \sqrt{\frac{1}{101}} = -20.0432 \text{ dB}, \arg G(j\omega) = \operatorname{arctg}(-10) = -84.2894^\circ$$

(pre $T = 1$)

Frekvenčná char. v logaritmických súradniciach – príklad (3/3)



Stabilita URO



Všetky metódy na **vyšetrovanie stability** lineárnych systémov možno rozdeliť do dvoch kategórií:

- **Frekvenčné kritériá**, vychádzajú z frekvenčnej prenosovej funkcie **otvoreného regulačného obvodu**. Známe sú **Nyquistovo kritérium** a **Bodeho kritérium**.
- **Algebraické kritéria**, ktoré vychádzajú z charakteristickej rovnice **uzavretého regulačného obvodu (CHRURO)** a v podstate vyšetrujú **rozloženie pólov systému (koreňov CHRURO)** v komplexnej rovine. Uvedieme **Routhovo kritérium stability**.

Charakteristická rovnica URO

Prenosová funkcia URO

$$G_{URO}(s) = G_{Y/W}(s) = \frac{Y(s)}{W(s)} = \frac{G(s)G_R(s)}{1 + G(s)G_R(s)} = \frac{G_O(s)}{1 + G_O(s)}$$

Charakteristická **r**ovnica **URO** (**CHRURO**) je, keď položíme menovateľ prenosovej funkcie URO nule

$$1 + G_O(s) = 0$$

$$G_O(s) = G(s) G_R(s) = \frac{B(s)}{A(s)} \frac{C(s)}{D(s)}$$

CHRURO - všeobecne

$$1 + G_O(s) = 1 + G(s)G_R(s) = 1 + \frac{B(s)}{A(s)} \frac{C(s)}{D(s)} = \frac{A(s)D(s) + B(s)C(s)}{A(s)D(s)} = 0$$

CHRURO

$$A(s)D(s) + B(s)C(s) = 0$$

Stabilita a kvalita URO

Stabilita = vlastnosť systému, ktorá nezávisí od vstupu, výstupu ani od porúch

Stabilita URO

- **z frekvenčných charakteristík ORO**
 - zjednodušené Nyquistovo kritérium, Bodeho kritérium
- **z charakteristickej rovnice URO (CHRURO)**
 - poloha pólov URO, Routhovo kritérium stability

Kvalita = závisí od charakteru vstupného signálu

- kvalita **v ustálených stavoch**
- kvalita **v prechodných stavoch**

Stabilita

V prípade riadiacich systémov nás zaujíma najmä **stabilita uzavretého obvodu**, t.j. stabilita systému automatického riadenia. V triede lineárnych systémov je stabilita vlastnosťou systému, čo znamená, že lineárny systém je buď stabilný alebo nestabilný.

Stabilným budeme nazývať taký systém, ktorý po vychýlení z rovnovážneho stavu a to vstupným alebo poruchovým signálom sa vráti späť do pôvodného rovnovážneho stavu alebo do blízkeho rovnovážnemu stavu.

Frekvenčné kritéria stability

Frekvenčné kritéria stability určujú stabilitu uzavretého obvodu z **frekvenčnej prenosovej funkcie** **otvoreného obvodu**:

$$G_o(j\omega) = G(j\omega)G_R(j\omega)$$

Existujú dve najviac používané kritériá:

- **Nyquistove kritérium** vychádza z frekvenčných charakteristík ORO v komplexnej rovine.
- **Bodeho kritérium** vychádza z logaritmických frekvenčných charakteristík ORO.

Nyquistovo kritérium stability

Nyquistova krivka = frekvenčná charakteristika + komplexne združená charakteristika

Potom platí: $N = P - \Omega$

kde

Ω je počet obbehov Nyquistovej krivky okolo bodu $(-1, 0j)$ znamienko sa určí na základe orientácie charakteristiky, pričom záporná hodnota zodpovedá smeru hodinových ručičiek

P je počet nestabilných pólov ORO $G_O(s)$

N je počet nestabilných pólov URO $G_{URO}(s)$

Dá sa riešiť aj analyticky. Hranica stability je

$$\operatorname{Re}\{G_O(j\omega)\} = -1 \quad \operatorname{Im}\{G_O(j\omega)\} = 0$$

Nyquistovo kritérium stability - príklad1

PR. 1

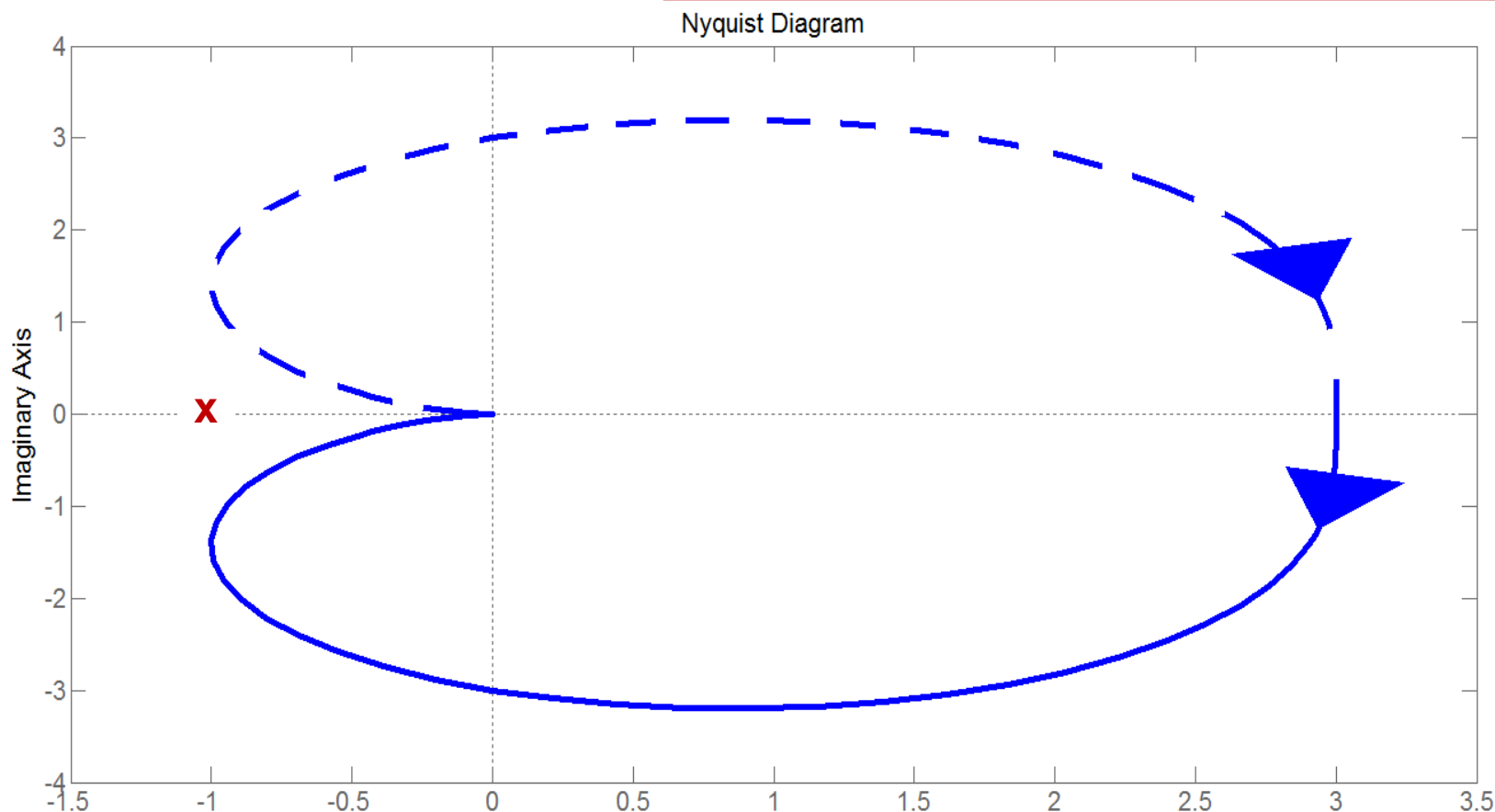
Pomocou Nyquistovho kritéria vyšetrite stabilitu systému (URO), ktorý má v otvorenej slučke prenosovú funkciu (ORO):

$$G_O(s) = G(s)G_R(s) = \frac{K}{(2s+1)^2}$$

$\Omega=0$ - počet obehov okolo bodu $(-1,0j)$

$P=0$ - počet nestabilných pólov ORO $G_O(s)$

$N = P - \Omega = 0 \longrightarrow$ URO bude STABILNÝ



Nyquistovo kritérium stability – príklad2

PR. 2

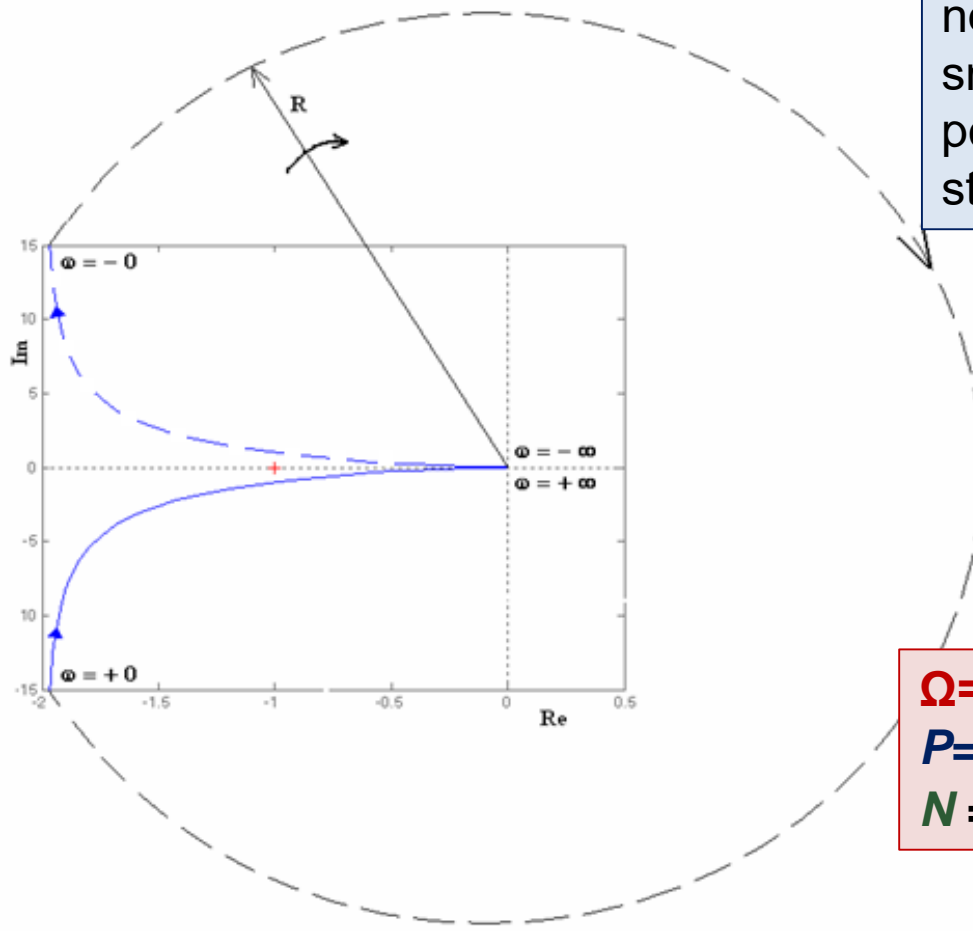
Pomocou Nyquistovho kritéria vyšetrite stabilitu systému (URO), ktorý má v otvorenej slučke prenosovú funkciu (ORO):

$$G_O(s) = G(s)G_R(s) = \frac{K}{s(2s+1)}$$

Jeden pól $G_O(s)$ sa nachádza na imaginárnej osi.

Tento pól môžeme obísť po kružnici s nekonečne malým polomerom R v kladnom smere otáčania a pričleniť ho k ľavej polrovine. Tým ho môžeme považovať za stabilný.

1-32



$\Omega=0$ - počet obbehov okolo bodu $(-1,0j)$
 $P=0$ - počet nestabilných pólov ORO $G_O(s)$
 $N = P - \Omega = 0 \rightarrow$ URO bude **STABILNÝ**

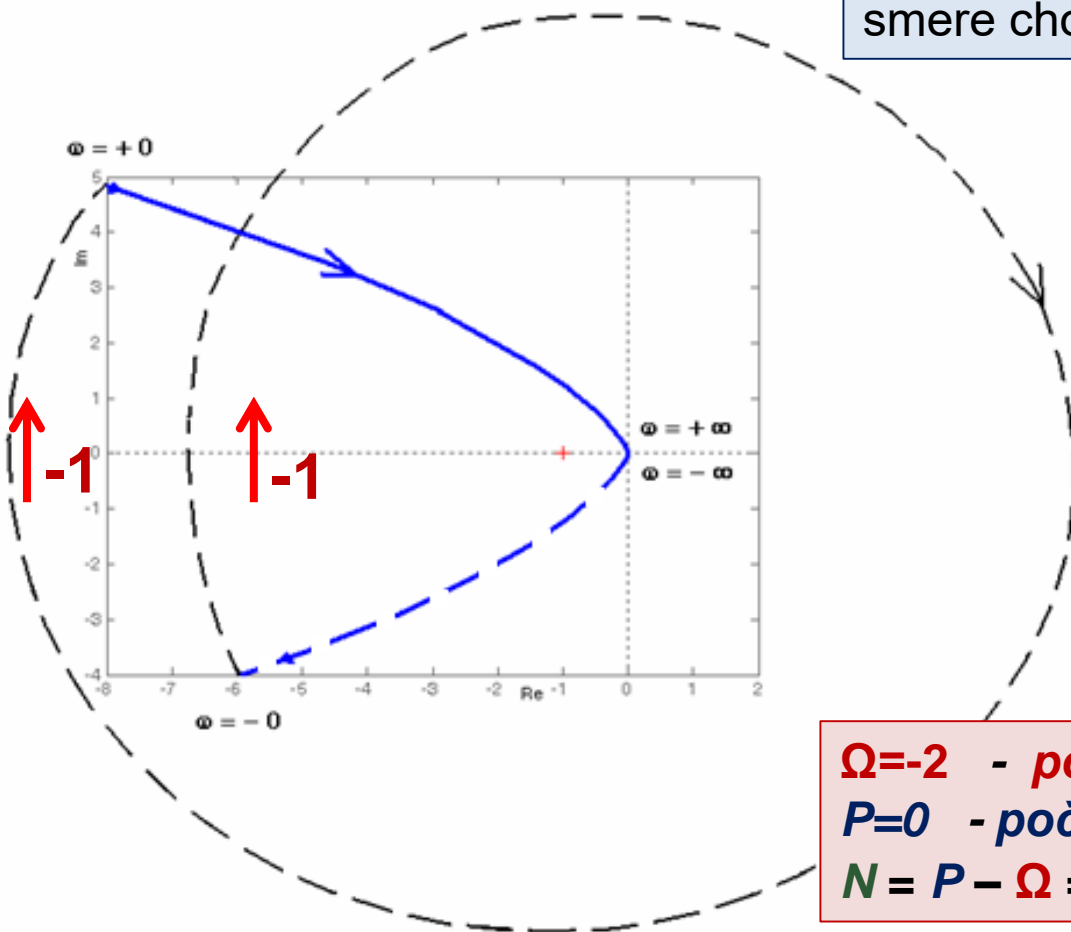
Nyquistovo kritérium stability – príklad3

PR. 3

Prenosová funkcia a frekvenčná prenosová funkcia ORO:

$$G_O(s) = G(s)G_R(s) = \frac{K}{s^2(2s+1)}$$

Dvojnásobný astatizmus $G_O(s)$ spôsobil, že pri uzatváraní krivky opíšeme nekonečne veľkú kružnicu okolo začiatku dvakrát v smere chodu hodinových ručičiek ($\Omega = -2$).



1-33

$\Omega = -2$ - počet obehov okolo bodu $(-1, 0j)$
 $P = 0$ - počet nestabilných pólov ORO $G_O(s)$
 $N = P - \Omega = 2 \rightarrow$ URO bude **NESTABILNÝ**

Analytický výpočet kritického zosilnenia

$$G_O(s) = G(s)G_R(s) = \frac{K}{(s+1)^3}$$

$$G_O(j\omega) = G(j\omega)G_R(j\omega) = \frac{K}{(j\omega+1)^3}$$

Hranica stability je: $\text{Re}\{G_O(j\omega)\} = -1, \quad \text{Im}\{G_O(j\omega)\} = 0$

$$G_O(j\omega) = \frac{K}{(j\omega+1)^3} = \frac{K}{-j\omega^3 - 3\omega^2 + 3j\omega + 1} = \frac{K}{(1-3\omega^2) + j(3\omega - \omega^3)} \frac{(1-3\omega^2) - j(3\omega - \omega^3)}{(1-3\omega^2) - j(3\omega - \omega^3)}$$

$$\text{Im}\{G_O(j\omega)\}_{\omega_{krit}} = 0$$

$$\text{Im}\{G_O(j\omega)\}_{\omega_{krit}} = \frac{-K\omega_{krit}(3 - \omega_{krit}^2)}{(1 - 3\omega_{krit}^2)^2 + (3\omega_{krit} - \omega_{krit}^3)^2} = 0 \Rightarrow \omega_{krit} = \sqrt{3}$$

$$\text{Re}\{G_O(j\omega)\}_{K_{krit}} = -1$$

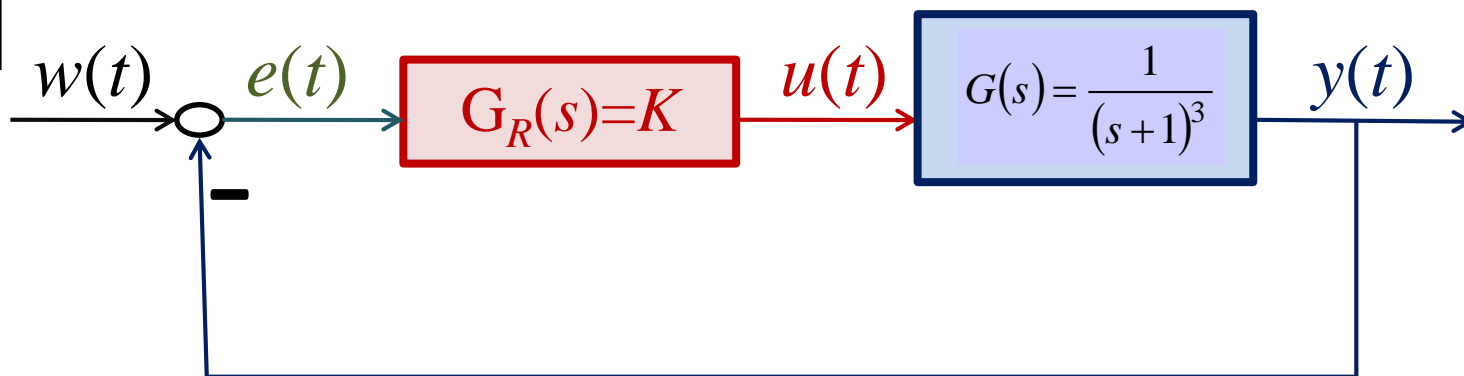
$$\text{Re}\{G_O(j\omega)\}_{K_{krit}} = \frac{K_{krit}(1 - 3\omega_{krit}^2)}{(1 - 3\omega_{krit}^2)^2 + (3\omega_{krit} - \omega_{krit}^3)^2} = \frac{K_{krit}(1 - 9)}{(1 - 9)^2 + (3\sqrt{3} - 3\sqrt{3})^2} = -1 \Rightarrow K_{krit} = 8$$

Nyquistovo kritérium stability – príklad4 (1/2)

Nyquistovo kritérium v najjednoduchšej podobe:

Predpokladajme, že prenosová funkcia otvoreného regulačného obvodu má len stabilné póly (ORO je stabilný). Potom uzavretý regulačný obvod bude stabilný, ak frekvenčná charakteristika otvoreného obvodu pretína reálnu os vpravo od kritického bodu $(-1, j0)$.

PR. 4



Pre jednoduchý regulačný obvod analyzujte stabilitu uzavretého obvodu pre rôzne veľkosti zosilnenia K ($K_1=4$, $K_2=8$ a $K_3=10$).

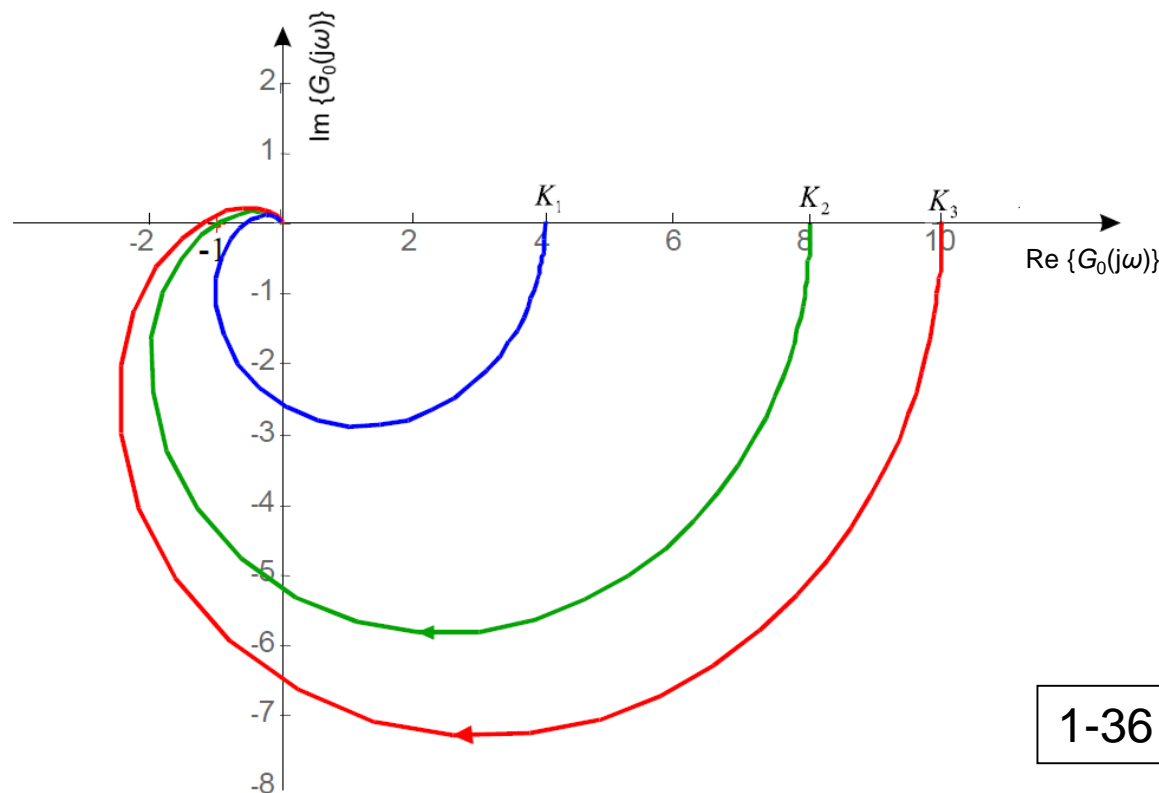
Nyquistovo kritérium stability – príklad4 (2/2)

Prenosová funkcia a frekvenčná prenosová funkcia ORO:

$$G_O(s) = G(s)G_R(s) = \frac{K}{(s+1)^3}$$

$$G_O(j\omega) = G(j\omega)G_R(j\omega) = \frac{K}{(j\omega+1)^3}$$

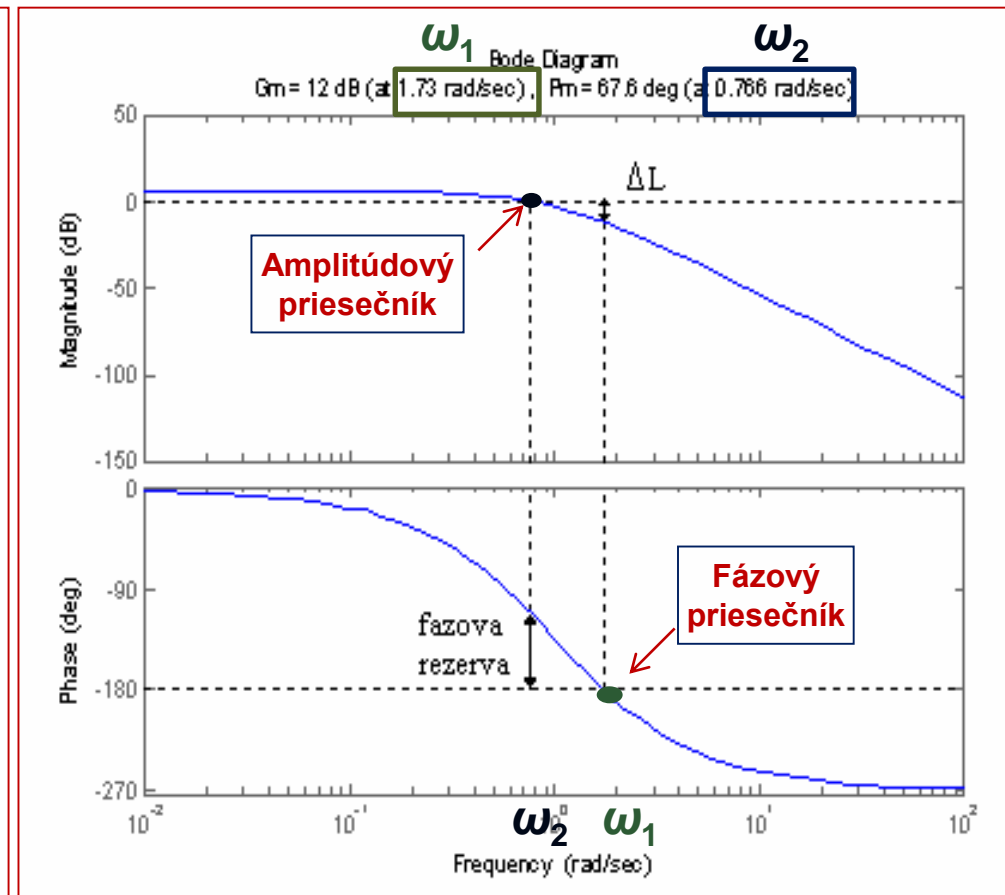
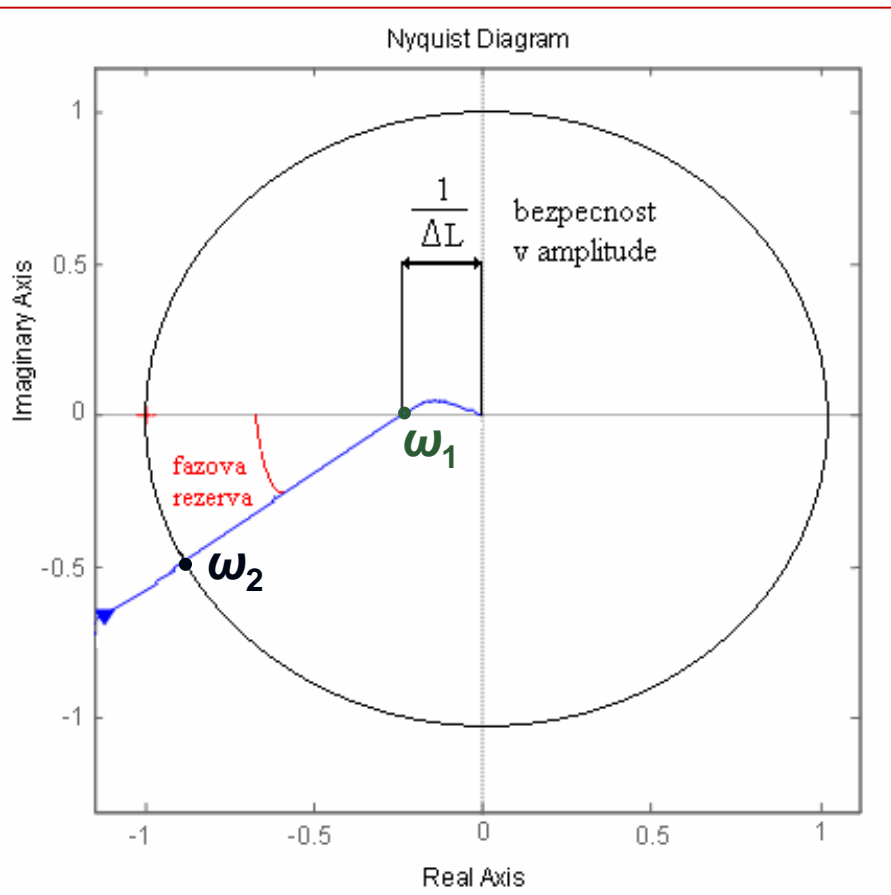
Prenosová funkcia ORO má tri stabilné póly v -1 a teda môžeme použiť zjednodušené Nyquistovo kritérium. Vykreslíme Nyquistove charakteristiky ORO pre $K_1=4$, $K_2=8$ a $K_3=10$:



- Uzavretý regulačný obvod bude stabilný, ak **frekvenčná charakteristika otvoreného obvodu pretína reálnu os vpravo od kritického bodu (-1, j0).**

- Obvod je na hranici stability ak **frekvenčná charakteristika prechádza bodom -1 na reálnej osi.**

- Obvod bude nestabilný, ak **frekvenčná charakteristika pretína reálnu os vľavo od kritického bodu (-1, j0).**

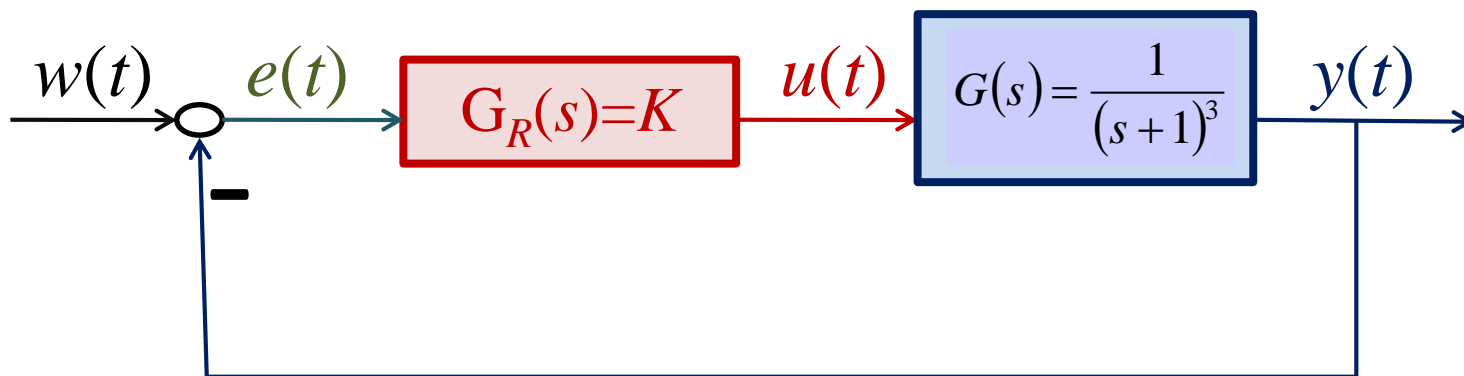


Bodeho kritérium stability – príklad (1/2)

Bodeho kritérium stability pre stabilný otvorený regulačný obvod:

Uzavretý regulačný obvod bude stabilný, ak pri frekvencii amplitúdového priesečníka je hodnota fázovej charakteristiky väčšia ako -180° .

PR.



Pre jednoduchý regulačný obvod analyzujte stabilitu uzavretého obvodu pre rôzne veľkosti zosilnenia K ($K_1=4$, $K_2=8$ a $K_3=10$).

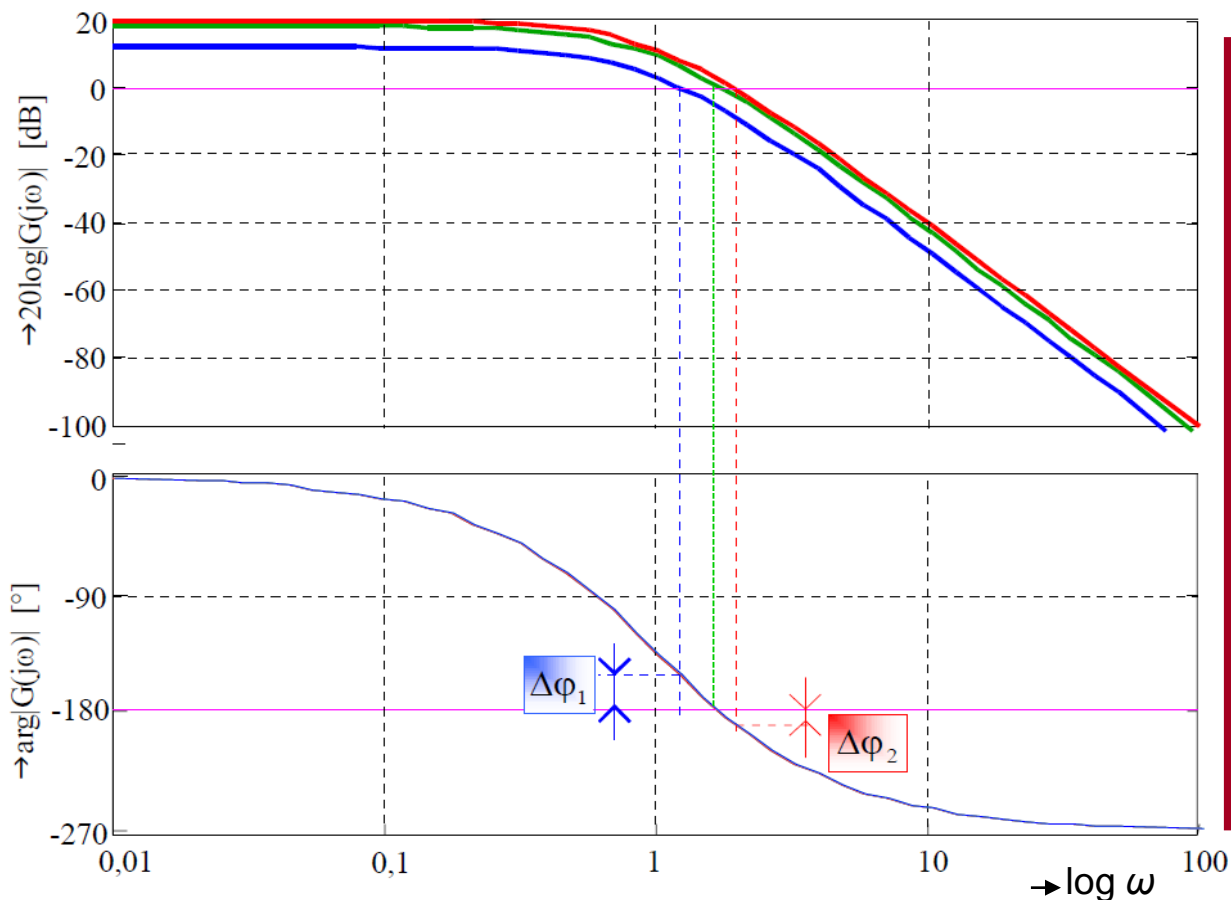
Bodeho kritérium stability – príklad (2/2)

Prenosová funkcia a frekvenčná prenosová funkcia ORO:

$$G_O(s) = G(s)G_R(s) = \frac{K}{(s+1)^3} \quad G_O(j\omega) = G(j\omega)G_R(j\omega) = \frac{K}{(j\omega+1)^3}$$

Vykreslíme Bodeho charakteristiky ORO pre $K_1=4$, $K_2=8$ a $K_3=10$:

1-39



- URO je stabilný, ak pri frekvencii amplitúdového priesečníka je hodnota fázovej charakteristiky väčšia ako -180° . Pre $K_1=4$ je hodnota fázovej charakteristiky asi -150° .
- URO je na hranici stability, ak pri frekvencii amplitúdového priesečníka je hodnota fázovej charakteristiky rovná -180° , platí to pre $K_2=8$.
- URO je nestabilný, ak pri frekvencii amplitúdového priesečníka je hodnota fázovej charakteristiky menšia ako -180° . Pre $K_3=10$ je hodnota fázovej charakteristiky asi -195° .

Algebraické kritéria stability – Routhovo kritérium

Algebraické kritéria stability vychádzajú z charakteristickej rovnice uzavretého regulačného obvodu (CHRURO) a v podstate vyšetrujú rozloženie pólov systému v komplexnej rovine. Jednotlivé kritériá majú rôznu techniku analýzy, ale všetky vyšetrujú len rozloženie pólov v komplexnej rovine.

Medzi najznámejšie patrí **Routhovo kritérium stability**.

Sústava s charakteristickým polynómom uzavretého obvodu $P(s)$ je stabilná, ak nutnú podmienku stability ($p_i > 0; i=1, \dots, n$) spĺňajú okrem polynómu $P(s)$ všetky polynómy, ktoré vzniknú jeho redukciou podľa Routhovho algoritmu.

Stodolova podmienka stability

Nutnou podmienkou (nie postačujúcou) stability regulačného obvodu je, aby všetky koeficienty charakteristického polynómu boli **kladné**.

Pre systémy 1. a 2. rádu je nutnou aj postačujúcou podmienkou stability.

$$G_O(s) = G(s)G_R(s) = \frac{B(s)}{A(s)} \frac{C(s)}{D(s)}$$

čitateľ $1 + G_O(s)$

Charakteristický
polynóm

$$A(s)D(s) + B(s)C(s) = P(s)$$

Ak je $P(s)$ 1. alebo 2. rádu a ak pre všetky p_i ($i=0,1$ alebo $i=0,1,2$) platí $p_i > 0$ môžeme povedať, že URO je stabilný.

Pre systémy s $P(s) = \sum_{i=0}^n p_i s^i$ pre $n > 2$ ak p_i ($i=0,1,\dots,n$) platí $p_i > 0$ (iba nutná podmienka stability) musíme posúdiť stabilitu pomocou Routhovho algoritmu.

Routhovo kritérium stability

$$P(s) = \sum_{i=0}^n p_i s^i = p_n s^n + p_{n-1} s^{n-1} + \dots + p_1 s + p_0$$

Routhova tabuľka

| | | | | | |
|---------------------------------|-----------|-----------|-----------|-----------|---------|
| | s^n | p_n | p_{n-2} | p_{n-4} | \dots |
| $k_1 = \frac{p_n}{p_{n-1}}$ | s^{n-1} | p_{n-1} | p_{n-3} | p_{n-5} | \dots |
| $k_2 = \frac{p_{n-1}}{b_{n-2}}$ | s^{n-2} | b_{n-2} | b_{n-4} | b_{n-6} | \dots |
| $k_3 = \frac{b_{n-2}}{c_{n-3}}$ | s^{n-3} | c_{n-3} | c_{n-5} | c_{n-7} | |
| \vdots | | | | | |
| $k_{n-1} = \frac{d_2}{e_1}$ | s | e_1 | 0 | | |
| $k_n = \frac{e_1}{f_0}$ | s^0 | f_0 | | | |

$$b_{n-2} = \frac{p_{n-1} p_{n-2} - p_n p_{n-3}}{p_{n-1}}$$

$$b_{n-4} = \frac{p_{n-1} p_{n-4} - p_n p_{n-5}}{p_{n-1}}$$

$$c_{n-3} = \frac{b_{n-2} p_{n-3} - p_{n-1} b_{n-4}}{b_{n-2}}$$

$$c_{n-5} = \frac{b_{n-2} p_{n-5} - p_{n-1} b_{n-6}}{b_{n-2}}$$

Nutnou a postačujúcou podmienkou stability je požiadavka, že $k_i > 0$, ($i=1, \dots, n$).

Routhovo kritérium stability – príklad1

PR. 1

Vyšetrite stabilitu URO s charakteristickým polynómom

a) $P_1(s) = s^4 + 10s^3 + 35s^2 + 50s + 24$

b) $P_2(s) = 2s^4 + s^3 + 3s^2 + 5s + 10$

a)

| | s^4 | 1 | 35 | 24 |
|-----------------------|-------|----|----|----|
| $k_1 = \frac{1}{10}$ | s^3 | 10 | 50 | |
| $k_2 = \frac{10}{30}$ | s^2 | 30 | 24 | |
| $k_3 = \frac{30}{42}$ | s | 42 | | |
| $k_4 = \frac{42}{24}$ | s^0 | 24 | | |

b)

| | s^4 | 2 | 3 | 10 |
|-------------------------|-------|------|----|----|
| $k_1 = \frac{2}{1}$ | s^3 | 1 | 5 | |
| $k_2 = -\frac{1}{7}$ | s^2 | -7 | 10 | |
| $k_3 = -\frac{7}{6.43}$ | s | 6.43 | | |
| $k_4 = \frac{6.43}{10}$ | s^0 | 10 | | |

Nutnou a postačujúcou podmienkou stability je požiadavka, že $k_i > 0$, ($i=1, \dots, 4$).
URO s charakteristickým polynómom **a)** $P_1(s)$ je **STABILNÝ** a **b)** $P_2(s)$ je **NESTABILNÝ**.

Routhovo kritérium stability – príklad2

PR. 2

Vyšetrite stabilitu URO s charakteristickým polynómom

$$P(s) = s^5 + 2s^4 + 2s^3 + 4s^2 + 11s + 10$$

| | | | | |
|-----------------------------------|-------|----------------------------------|----|----|
| | s^5 | 1 | 2 | 11 |
| $k_1 = \frac{1}{2}$ | s^4 | 2 | 4 | 10 |
| $k_2 = \frac{2}{\varepsilon}$ | s^3 | $0 \rightarrow \varepsilon$ | 6 | |
| $k_3 = -\frac{\varepsilon^2}{12}$ | s^2 | $4 - \frac{12}{\varepsilon}$ | 10 | |
| $k_4 = -\frac{2}{\varepsilon}$ | s | $6 + \frac{10\varepsilon^2}{12}$ | | |
| $k_5 = \frac{6}{10}$ | s^0 | 10 | | |

Ak sa pri výpočte objaví v 1. stĺpci nulový prvok a ostatné prvky v riadku sú nenulové, v riešení pokračujeme tak, že **nulu nahradíme nekonečne malým kladným číslom ε** . Počet **záporných k_i** udáva počet **nestabilných pólov**. V prípade, že všetky **k_i budú kladné**, tak nulový prvok signalizuje, že systém bude **na hranici stability**.

Ak Routhova tabuľka obsahuje čo len jeden záporný koeficient k_i , je systém **nestabilný**. $k_1, k_2, k_5 > 0$ a $k_3, k_4 < 0$ to znamená, že polynóm má **3 stabilné a 2 nestabilné póly** \rightarrow **NESTABILNÝ SYSTÉM**

Routhovo kritérium stability – príklad3

PR. 3

Vyšetrite stabilitu URO s charakteristickým polynómom

$$P(s) = s^5 + s^4 + 5s^3 + 5s^2 + 4s + 4$$

| | | | | |
|---------------------|-------|-----|----|---|
| | s^5 | 1 | 5 | 4 |
| $k_1 = 1$ | s^4 | 1 | 5 | 4 |
| | s^3 | 0 | 0 | |
| $k_2 = \frac{1}{4}$ | s^3 | 4 | 10 | |
| $k_3 = 1.6$ | s^2 | 2.5 | 4 | |
| $k_4 = 0.695$ | s | 3.6 | | |
| $k_5 = 0.9$ | s^0 | 4 | | |

$$\frac{d}{ds}(s^4 + 5s^2 + 4) = 4s^3 + 10s$$

Ak Routhova tabuľka obsahuje celý nulový riadok, nahradíme ho príslušnou deriváciou a pokračujeme ďalej vo výpočte. Keďže všetky koeficienty k_i sú kladné, tak nulový riadok naznačuje, že polynóm má **2 jednoduché póly na imaginárnej osi** a teda URO je **NA HRANICI STABILITY**.

Routhovo kritérium stability – príklad4

PR. 4

Vyšetrite stabilitu URO s charakteristickým polynómom

$$P(s) = s^5 + s^4 + 4s^3 + 4s^2 + 4s + 4$$

| | | | | |
|---------------------|-------|---|---|---|
| | s^5 | 1 | 4 | 4 |
| $k_1 = 1$ | s^4 | 1 | 4 | 4 |
| | s^3 | 0 | 0 | |
| $k_2 = \frac{1}{4}$ | s^3 | 4 | 8 | |
| $k_3 = 2$ | s^2 | 2 | 4 | |
| | s | 0 | 0 | |
| $k_4 = \frac{1}{2}$ | s | 4 | | |
| $k_5 = 1$ | s^0 | 4 | | |

$$\frac{d}{ds}(s^4 + 4s^2 + 4) = 4s^3 + 8s$$

$$\frac{d}{ds}(2s^2 + 4) = 4s$$

Ak sa v Routhovej tabuľke vyskytuje dvakrát nulový riadok, signalizuje to, že na imaginárnej osi sa nachádzajú dva páry komplexne združených koreňov. URO je **NESTABILNÝ**.

Routhovo kritérium stability – príklad5

PR. 5

Vyšetrite stabilitu URO s charakteristickým polynómom

$$P(s) = s^5 + s^4 + 4s^3 + 4s^2 + 5s + 5$$

| | | | | |
|----------------------|-------|----|---|---|
| | s^5 | 1 | 4 | 5 |
| $k_1 = 1$ | s^4 | 1 | 4 | 5 |
| | s^3 | 0 | 0 | |
| $k_2 = \frac{1}{4}$ | s^3 | 4 | 8 | |
| $k_3 = 2$ | s^2 | 2 | 5 | |
| $k_4 = -1$ | s | -2 | | |
| $k_5 = -\frac{2}{5}$ | s^0 | 5 | | |

$$\frac{d}{ds}(s^4 + 4s^2 + 5) = 4s^3 + 8s$$

Ak Routhova tabuľka obsahuje čo len jeden záporný koeficient k_i , je systém nestabilný. Dva koeficienty k_i sú záporné, ide teda o URO **NESTABILNÝ**.

Routhovo kritérium stability – príklad6 (1/2)

PR. 6

K zadanému systému s prenosovou funkciou

$$G(s) = \frac{1}{(s+1)^2}$$

a pre regulátor s prenosovou funkciou

$$G_R(s) = 1 + \frac{0.75}{s}$$

vyšetrite stabilitu URO pomocou Routhovho kritéria stability.

Charakteristická rovnica URO:

$$1 + G_O(s) = 1 + G(s)G_R(s) = 1 + \frac{1}{(s+1)^2} \frac{s+0.75}{s}$$

Charakteristický polynóm:

$$P(s) = 1 + G_O(s) = 0$$

$$1 + G(s)G_R(s) = s(s+1)^2 + (s+0.75) = s^3 + 2s^2 + 2s + 0.75 = 0$$

Routhovo kritérium stability – príklad6 (2/2)

$$P(s) = s^3 + 2s^2 + 2s + 0.75$$

| | s^3 | 1 | 2 |
|----------------------------|-------|-------|------|
| $k_1 = \frac{1}{2}$ | s^2 | 2 | 0.75 |
| $k_2 = \frac{2}{1.625}$ | s | 1.625 | |
| $k_3 = \frac{1.625}{0.75}$ | s^0 | 0.75 | |

Nutnou a postačujúcou podmienkou stability je požiadavka, že $k_i > 0$, ($i=1,2,3$).

URO s charakteristickým polynómom $P(s)$ je

STABILNÝ

Routhovo kritérium stability – príklad7 (1/2)

PR. 7

Je daná prenosová funkcia otvoreného regulačného obvodu:

$$G_O(s) = \frac{K}{s(8s+1)^2}$$

Treba určiť pomocou Rothovho kritéria stability pre aké K bude URO stabilný.

Charakteristická rovnica URO:

$$1 + G_O(s) = 1 + \frac{K}{s(8s+1)^2} = \frac{s(8s+1)^2 + K}{s(8s+1)^2}$$

Charakteristický polynóm:

$$P(s) = 1 + G_O(s) = 0$$

$$P(s) = 64 s^3 + 16 s^2 + s + K = 0$$

Routhovo kritérium stability – príklad7 (2/2)

$$P(s) = 64s^3 + 16s^2 + s + K$$

| | | | |
|-------------------------|-------|--------|-----|
| | s^3 | 64 | 1 |
| $k_1 = \frac{64}{16}$ | s^2 | 16 | K |
| $k_2 = \frac{16}{1-4K}$ | s | $1-4K$ | |
| $k_3 = \frac{1-4K}{K}$ | s^0 | K | |

Nutnou a postačujúcou podmienkou stability je požiadavka, že $k_i > 0$, ($i=1,2,3$). Takže musia byť splnené dve nerovnice, z ktorých vyplýva:

$$1 - 4K > 0 \rightarrow K < \frac{1}{4}$$

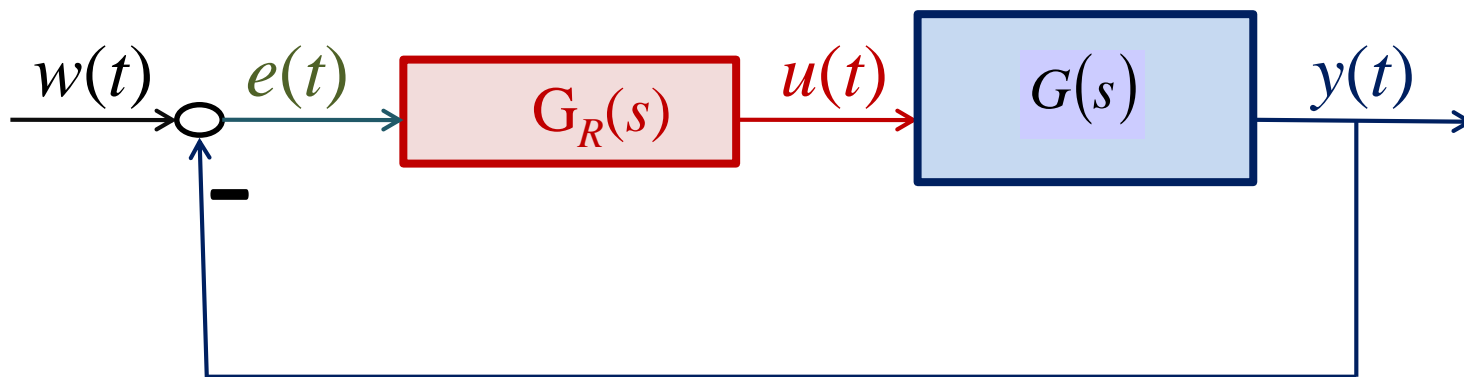
$$K > 0$$

Interval stabilných hodnôt K :

$$K \in \left(0, \frac{1}{4}\right)$$

Kvalita riadenia

Pri návrhu riadiacich obvodov treba zabezpečiť okrem nevyhnutnej podmienky, ktorou je stabilita uzavretého obvodu aj ďalšie požiadavky, ktoré sú spolu zahrnuté do pojmu kvality regulácie. Rozlišujeme **kvalitu regulácie v ustálených stavoch**, ktorou je určená presnosť regulácie a **kvalitu riadenia v prechodných javoch**, ktorou je určená dynamika uzavretého obvodu.



Regulačná odchýlka je definovaná ako rozdiel žiadanej hodnoty (w) a výstupnej veličiny (y)

$$e(t) = w(t) - y(t)$$

Využitím Laplaceovej transformácie je

$$E(s) = \frac{W(s)}{1 + G(s)G_R(s)}$$

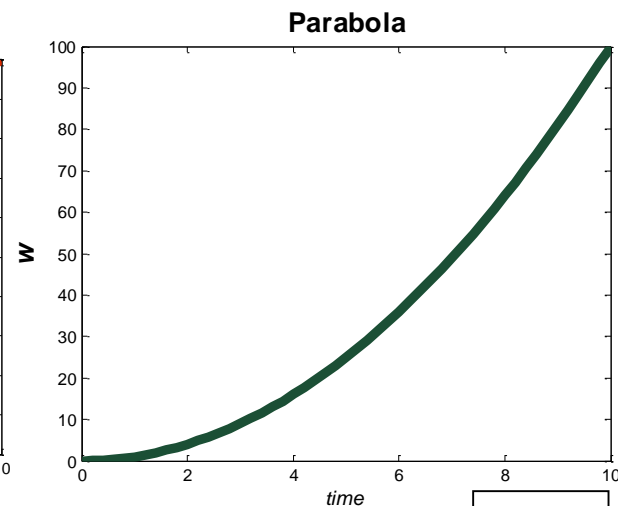
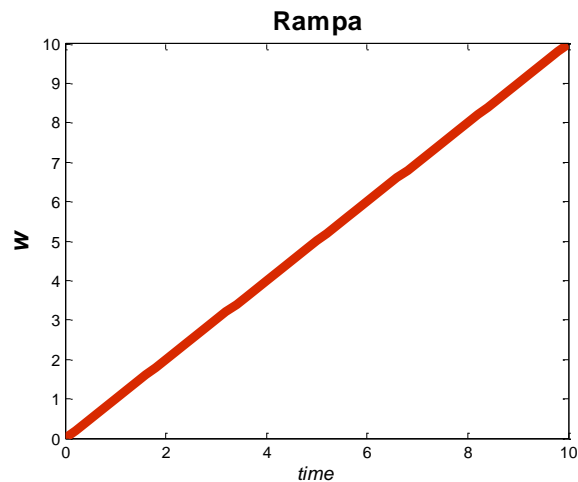
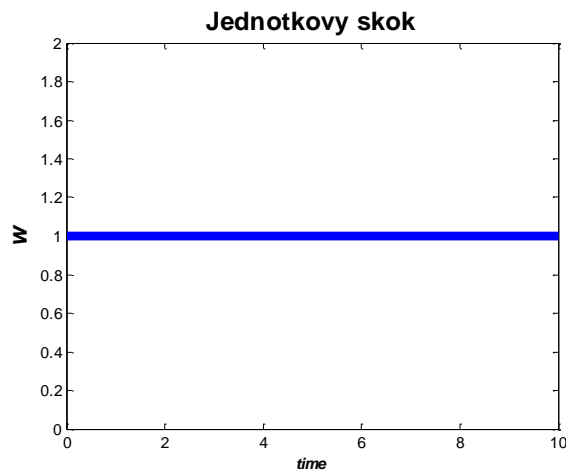
Kvalita riadenia v ustálených stavoch

Presnosť riadenia je určená **trvalou regulačnou odchýlkou** $e(\infty)$:

$$e(\infty) = \lim_{t \rightarrow \infty} e(t) = \lim_{s \rightarrow 0} sE(s) = \lim_{s \rightarrow 0} \frac{sW(s)}{1 + G(s)G_R(s)} = \min$$

Trvalá regulačná odchýlka závisí od **typu vstupného signálu** a od **stupňa astatizmu otvoreného regulačného obvodu** $G_O(s) = G(s)G_R(s)$.

Časové odozvy vstupného signálu $w(t)$ - **jednotkový skok** (skok polohy), **rampa** (skok rýchlosti), **parabola** (skok zrýchlenia):



Kvalita riadenia v ustálených stavoch

Vstupný signál opíšeme funkciou

$$w(t) = w_q t^q$$

- $q=0$: $w(t) = w_0$ -- skok polohy
- $q=1$: $w(t) = w_1 t$ -- skok rýchlosti
- $q=2$: $w(t) = w_2 t^2$ -- skok zrýchlenia

q je stupeň vstupného signálu
 u je rád astatizmu ORO

Laplaceovou transformáciou dostaneme

$$W(s) = \frac{q!}{s^{q+1}} w_q$$

Pre trvalú regulačnú odchýlku platí

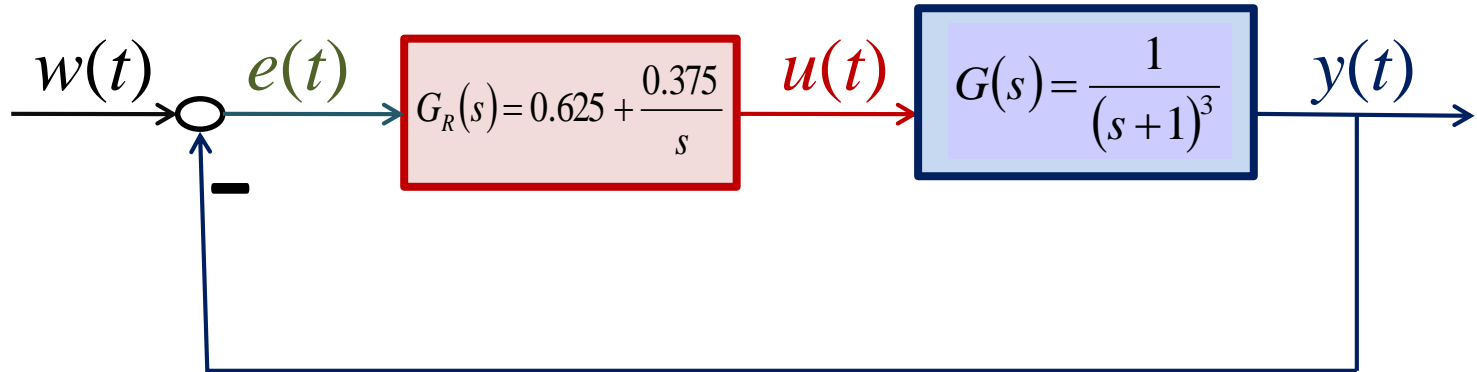
$$e(\infty) = q! w_q \lim_{s \rightarrow 0} \frac{s^{v-q}}{s^v + K}$$

| v/q | 0 | 1 | 2 |
|-------|-------------------------------|-----------------------------|------------------------------|
| 0 | $e(\infty) = \frac{w_0}{1+K}$ | $e(\infty) = \infty$ | $e(\infty) = \infty$ |
| 1 | $e(\infty) = 0$ | $e(\infty) = \frac{w_1}{K}$ | $e(\infty) = \infty$ |
| 2 | $e(\infty) = 0$ | $e(\infty) = 0$ | $e(\infty) = \frac{2w_2}{K}$ |

Ak $u > q$ potom $e(\infty) = 0$
 riadenie v ustálenom
 stave je ideálne

Kvalitu riadenia v ustálených stavoch – príklad (1/2)

PR.



Pre regulačný obvod vyšetrite kvalitu riadenia v ustálenom stave, ak je vstupný signál jednotkový skok ($w(t)=1$).

$$W(s) = \frac{1}{s}$$

$q=0$ vstupný signál je jednotkový skok
 $\nu=1$ je rád astatizmu ORO

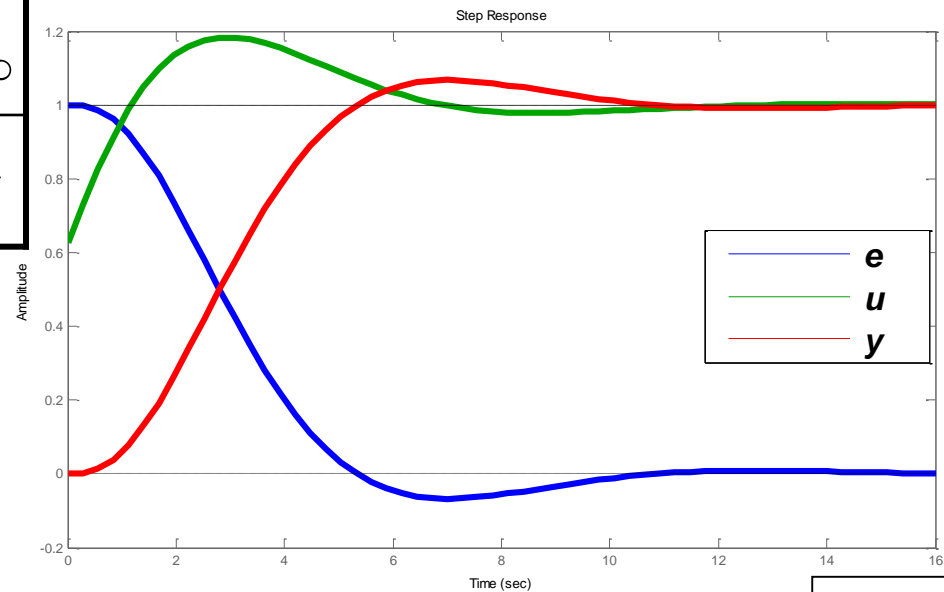
$$G_O(s) = G(s)G_R(s) = \frac{1}{(s+1)^3} \frac{0.625s + 0.375}{s} = \frac{0.625s + 0.375}{s(s^3 + 3s^2 + 3s + 1)}$$

$$e(\infty) = \lim_{t \rightarrow \infty} e(t) = \lim_{s \rightarrow 0} sE(s) = \lim_{s \rightarrow 0} s \frac{W(s)}{1 + G_O(s)} = \lim_{s \rightarrow 0} s \frac{\frac{1}{s}}{1 + \frac{0.625s + 0.375}{s(s^3 + 3s^2 + 3s + 1)}}$$

Kvalitu riadenia v ustálených stavoch – príklad (2/2)

$$e(\infty) = \lim_{s \rightarrow 0} s \frac{\frac{1}{s}}{1 + \frac{0.625s + 0.375}{s(s^3 + 3s^2 + 3s + 1)}} = \lim_{s \rightarrow 0} \frac{s(s^3 + 3s^2 + 3s + 1)}{s^4 + 3s^3 + 3s^2 + 1.625s + 0.375} = 0$$

| v/q | 0 | 1 | 2 |
|-------|-------------------------------|-----------------------------|------------------------------|
| 0 | $e(\infty) = \frac{w_0}{1+K}$ | $e(\infty) = \infty$ | $e(\infty) = \infty$ |
| 1 | $e(\infty) = 0$ | $e(\infty) = \frac{w_1}{K}$ | $e(\infty) = \infty$ |
| 2 | $e(\infty) = 0$ | $e(\infty) = 0$ | $e(\infty) = \frac{2w_2}{K}$ |



Kvalita riadenia v prechodných stavoch – ukazovatele kvality

Pri posudzovaní **kvality riadenia v prechodných stavoch** sa používajú jednak **ukazovatele kvality** (čas regulácie, maximálne preregulovanie, čas nábehu, čas oneskorenia) a **integrálne kritériá kvality riadenia** (kritérium lineárnej regulačnej plochy, kritérium absolútnej regulačnej plochy, kritérium časom váhovanej regulačnej plochy, kritérium kvadratickej regulačnej plochy).

Ukazovatele kvality riadenia:

1-57

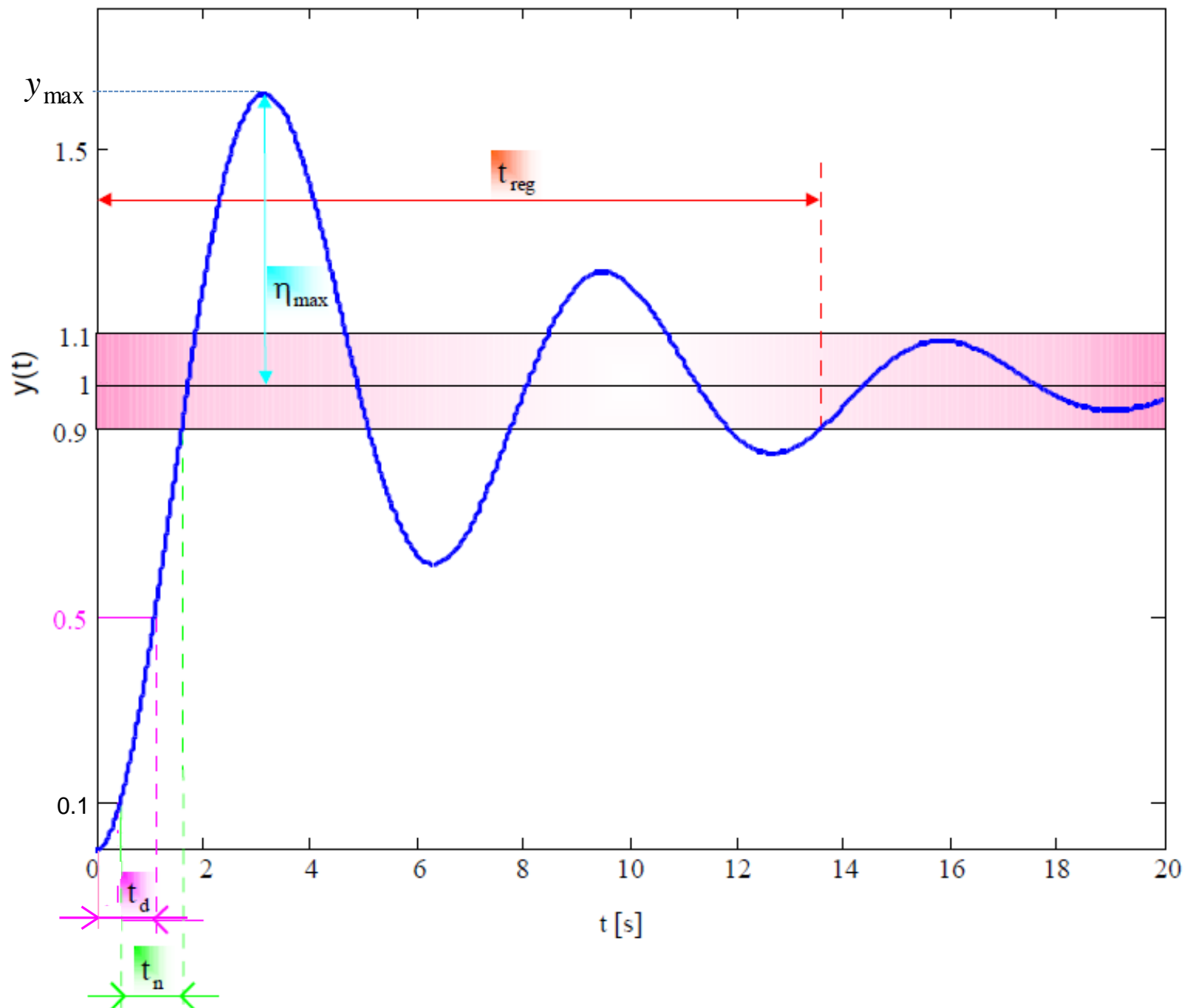
Čas regulácie (t_{reg} [s]) je čas za ktorý sa prechodová charakteristika dostane do pásma okolo ustálenej hodnoty, pričom šírka pásma sa obyčajne volí $\pm 1\% y(\infty)$ až $\pm 5\% y(\infty)$.

Maximálne preregulovanie (η_{max} [%]) je hodnota najväčšieho preregulovania.

$$\eta_{\text{max}} = \frac{y_{\text{max}} - y(\infty)}{y(\infty)} 100 \quad [\%]$$

Čas nábehu (t_n [s]) je čas, ktorý uplynie pri nábehu prechodovej charakteristiky od 10% do 90% ustálenej hodnoty.

Čas oneskorenia (t_d [s]) je čas, za ktorý charakteristika dosiahne 50% ustálenej hodnoty.



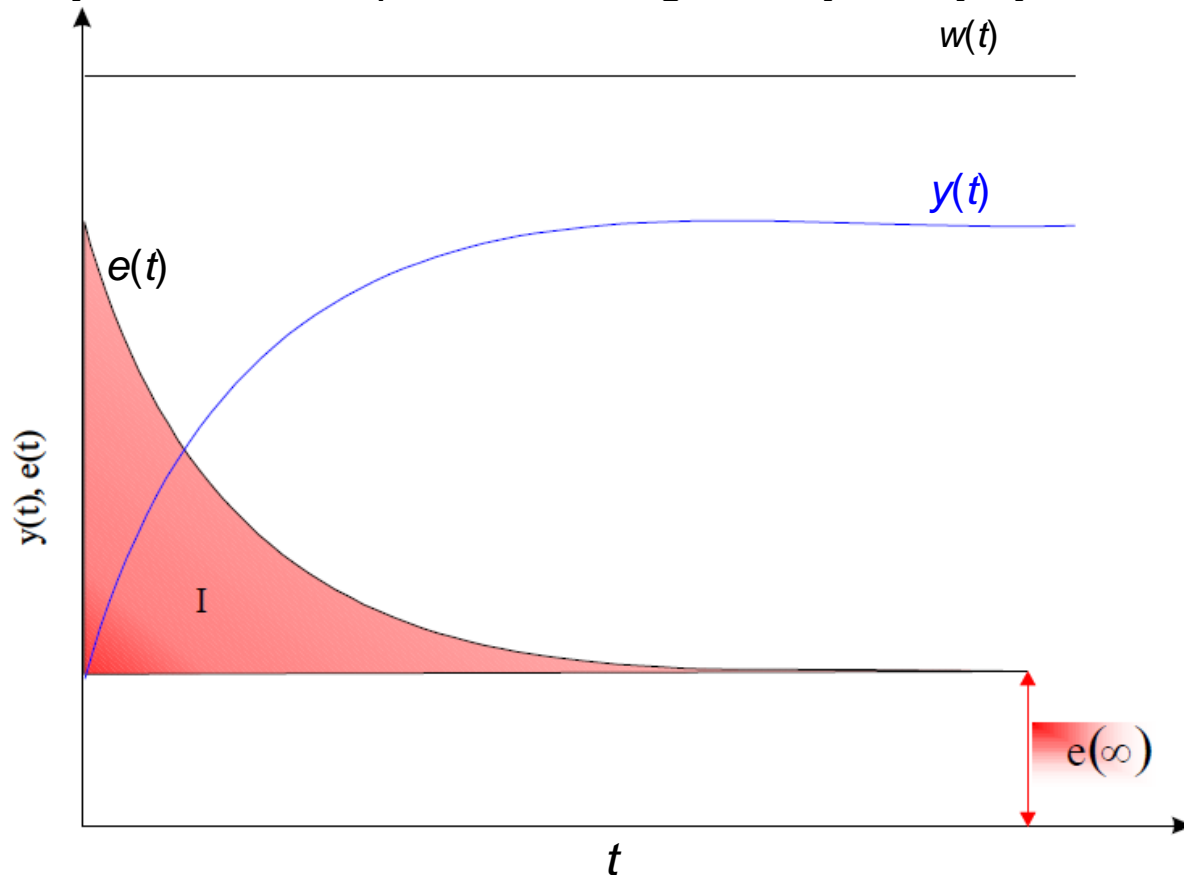
Kvalita riadenia v prechodných stavoch – integrálne kritéria (1/2)

Integrálne kritéria kvality riadenia:

$$I = \int_0^{\infty} [e(t) - e(\infty)] dt \rightarrow \min$$

a) Kritérium lineárnej regulačnej plochy

Kritérium lineárnej regulačnej plochy je definované ako minimum plochy, ktorá je ohraničená priebehom regulačnej odchýlky.



Kvalita riadenia v prechodných stavoch – integrálne kritéria (2/2)

b) Kritérium absolútnej regulačnej plochy

Kritérium lineárnej regulačnej plochy je použiteľné len pre aperiodické prechodné deje, lebo v prípade kmitavého priebehu, by sa spočítavali plochy s kladným a záporným znamienkom. Kladné znamienko by mali plochy kde je regulačná odchýlka kladná a záporné znamienko by mali plochy, kde je regulačná odchýlka záporná. Túto nevýhodu kritéria lineárnej regulačnej plochy odstraňuje kritérium absolútnej regulačnej plochy definované:

$$I_{AE} = \int_0^{\infty} |e(t) - e(\infty)| dt \rightarrow \min$$

c) Kritérium kvadratickej regulačnej plochy

Nevýhody vyššie opísaných kritérií odstraňuje kritérium kvadratickej regulačnej plochy, ktoré je použiteľné pre aperiodické aj kmitavé priebehy. Je definované integrálom:

$$I_{SE} = \int_0^{\infty} [e(t) - e(\infty)]^2 dt \rightarrow \min$$

PID regulátor

- štruktúra
- prenosová funkcia

URO s PID regulátorom

- voľba štruktúry PID regulátora
- kvalita (v prechodnom a ustálenom stave)

PID regulátor

PID v časovej oblasti

$$u(t) = Pe(t) + I \int_0^t e(\tau) d\tau + D \frac{de(t)}{dt}$$

Prenosová funkcia PID – **Interakčný vzťah:**

$$G_R(s) = \frac{U(s)}{E(s)} = P \left(1 + \frac{1}{T_I s} + T_D s \right)$$

P – zosilnenie proporcionálnej zložky regulátora

T_I – integračná časová konštanta

T_D – derivačná konštanta

Prenosová funkcia PID – **Zložkový tvar:**

$$G_R(s) = \frac{U(s)}{E(s)} = r_0 + \frac{r_{-1}}{s} + r_1 s = P + \frac{I}{s} + Ds$$

Vzťahy medzi interakčným a zložkovým tvarom

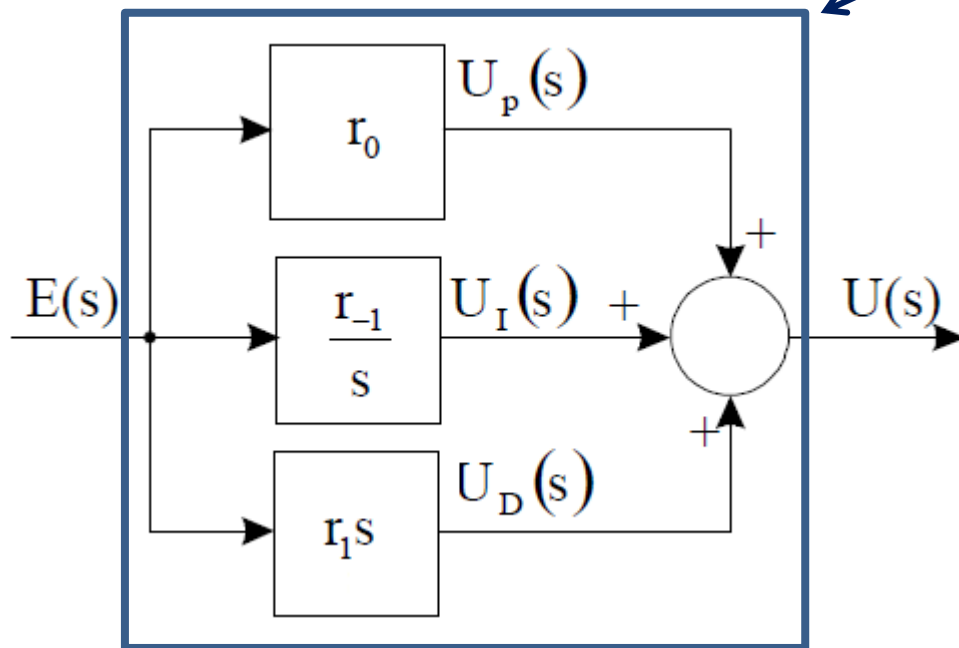
$$T_I = \frac{P}{r_{-1}} = \frac{r_0}{r_{-1}}, \quad T_D = \frac{r_1}{P} = \frac{r_1}{r_0}$$

$$r_0 = P, \quad r_{-1} = \frac{P}{T_I}, \quad r_1 = PT_D$$

1-63

REGULÁTOR

Typy regulátorov a ich prenosové f.:



- **P** $G_R(s) = \frac{U(s)}{E(s)} = P$
- **I** $G_R(s) = \frac{1}{T_I s}$
- **D** $G_R(s) = T_D s$
- **PI** $G_R(s) = P \left(1 + \frac{1}{T_I s} \right)$
- **PD** $G_R(s) = P (1 + T_D s)$
- **PID** $G_R(s) = P \left(1 + \frac{1}{T_I s} + T_D s \right)$

Voľba štruktúry PID regulátora

Pri výbere vhodnej štruktúry PID regulátora pre jednoduché sústavy budeme uvažovať **kritérium minimálnej trvalej regulačnej odchýlky** a **požadovanej kvality prechodných procesov**.

Trvalá regulačná odchýlka je $e(\infty) = w(\infty) - y(\infty)$, ak $w(t) = 1$, teda na vstupe URO je jednotkový skok, čiže aj $w(\infty) = 1$.

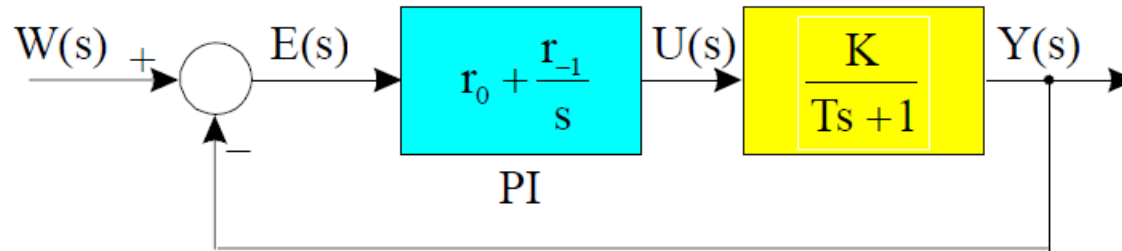
Ak je URO stabilný (a na vstupe je jednotkový skok), pre ustálený stav platí $y(\infty) = 1$ a trvalá regulačná odchýlka je nulová $e(\infty) = 0$.

Kvalita regulácie v prechodných procesoch je daná pólmi prenosovej funkcie uzavretého obvodu (koreňmi charakteristickej rovnice URO).

- Ak budú **póly** prenosovej funkcie uzavretého obvodu **reálne** a záporné, bude **prechodný proces aperiodický**.
- Ak budú **póly** prenosovej funkcie uzavretého obvodu **komplexne združené** so zápornou reálnou časťou, bude **prechodný proces kmitavý**.

Riadenie statickej sústavy 1. rádu **PI reg.**

$W(s)=1/s$, teda na vstupe je jednotkový skok. Prechodová charakteristika samotnej sústavy je silno aperiodická.



Trvalá regulačná odchýlka je **$e(\infty)=w(\infty)-y(\infty)$**

Prenosová funkcia určujúca **vplyv žiadanej hodnoty $w(t)$ na regulačnú odchýlku $e(t)$**

$$G_{E/W}(s) = \frac{E(s)}{W(s)} = \frac{1}{1 + G(s)G_R(s)} = \frac{1}{1 + G_O(s)} \longrightarrow E(s) = \frac{1}{1 + G(s)G_R(s)} W(s)$$

$$e(\infty) = \lim_{t \rightarrow \infty} e(t) = \lim_{s \rightarrow 0} sE(s) = \lim_{s \rightarrow 0} s \frac{W(s)}{1 + G(s)G_R(s)} = \lim_{s \rightarrow 0} s \frac{\frac{1}{s}}{1 + \frac{K}{Ts + 1} \frac{r_0 s + r_{-1}}{s}} = 0$$

$$r_0, r_{-1} > 0$$

Kvalita regulácie v prechodných procesoch je daná pólmi prenosovej funkcie URO

Riadenie statickej sústavy 1. rádu **PI reg.**- pokrač.

Prenosová funkcia URO

$$G_{Y/W}(s) = \frac{Y(s)}{W(s)} = \frac{G(s)G_R(s)}{1 + G(s)G_R(s)} = \frac{G_O(s)}{1 + G_O(s)} = \frac{\frac{K}{Ts+1} \frac{r_0s + r_{-1}}{s}}{1 + \frac{K}{Ts+1} \frac{r_0s + r_{-1}}{s}} = \frac{K(r_0s + r_{-1})}{Ts^2 + (1 + Kr_0)s + Kr_{-1}}$$

Kvalita regulácie závisí od **polohy pólov URO**, teda **koreňov menovateľa (λ_i) URO**

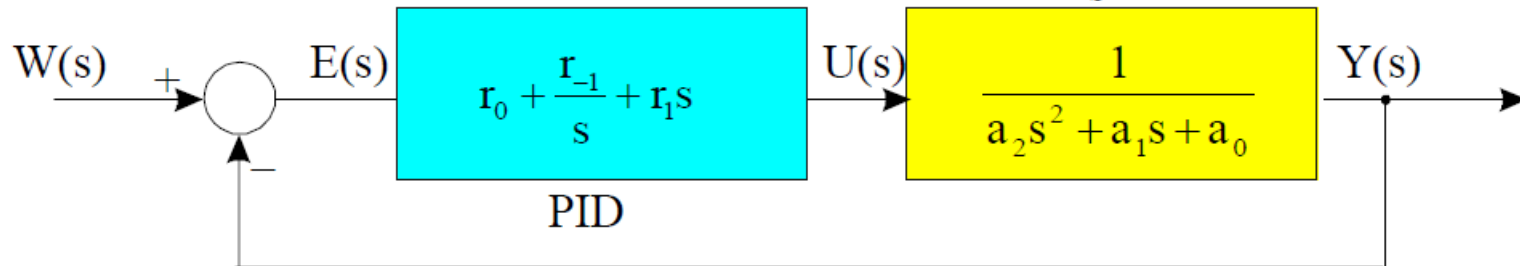
$$Ts^2 + (1 + Kr_0)s + Kr_{-1} = 0 \longrightarrow \lambda_{1,2} = -\frac{1 + Kr_0}{2T} \pm \sqrt{\left(\frac{1 + Kr_0}{2T}\right)^2 - \frac{Kr_{-1}}{T}}$$

Pri **riadení statickej sústavy 1.rádu PI regulátorom** je **zabezpečená stabilita regulácie** pri kladnom proporcionálnom zosilnení, kedy je reálna časť pólov záporná a možno dosiahnuť prakticky ľubovoľný priebeh prechodného procesu:

- Ak budú **póly** prenosovej funkcie uzavretého obvodu **reálne**, bude prechodný proces **aperiodický**.
- Ak budú **póly** prenosovej funkcie uzavretého obvodu **komplexne združené** so zápornou reálnou časťou, bude prechodný proces **kmitavý**.

Riadenie sústavy 2. rádu bez astatizmu **PID reg.**

$W(s)=1/s$, teda na vstupe je jednotkový skok.



Trvalá regulačná odchýlka je **$e(\infty)=w(\infty)-y(\infty)$**

Prenosová funkcia určujúca **vplyv žiadanej hodnoty $w(t)$ na regulačnú odchýlku $e(t)$**

$$G_{E/W}(s) = \frac{E(s)}{W(s)} = \frac{1}{1 + G(s)G_R(s)} = \frac{1}{1 + G_O(s)}$$

$$E(s) = \frac{1}{1 + G(s)G_R(s)} W(s)$$

$$e(\infty) = \lim_{t \rightarrow \infty} e(t) = \lim_{s \rightarrow 0} sE(s) = \lim_{s \rightarrow 0} s \frac{W(s)}{1 + G(s)G_R(s)} = \lim_{s \rightarrow 0} s \frac{\frac{1}{s}}{1 + \frac{1}{a_2 s^2 + a_1 s + a_0} \frac{r_1 s^2 + r_0 s + r_{-1}}{s}} = 0$$

Kvalita regulácie v prechodných procesoch je daná pólmi prenosovej funkcie URO

Návrh optimálnych parametrov PID regulátora

Metódy výpočtu koeficientov spojitých regulátorov na ZÁKLADE ZNALOSTI MATEMATICKÉHO MODELU

Delíme ich na metódy:

- ❑ **klasické metódy (konvenčné):** *metóda optimálneho modulu*, *metóda Naslina*, *štandardné tvary* a pod.
- ❑ **moderné metódy** zaručujúce stabilitu a dobrú kvalitu regulácie: *metóda sumy časových konštánt*, *metóda inverzie dynamiky*

Metódy pre určenie optimálnych parametrov PID regulátora:

- metóda OPTIMÁLNEHO MODULU
- metóda sumy časových konštánt
- Inverzia dynamiky (metóda priamej syntézy)

Metóda optimálneho modulu - princíp

Vychádza z predstavy **ideálnej prenosovej funkcie uzavretého regulačného obvodu**, ktorá by mala byť **jednotková**, t.j.

$$G_{Y/W}(s) = \frac{Y(s)}{W(s)} = \frac{G(s)G_R(s)}{1 + G(s)G_R(s)} = \frac{G_O(s)}{1 + G_O(s)} \stackrel{!}{=} 1$$

Nakoľko táto predstava nie je reálna, je snahou navrhnuť regulátor tak, aby aspoň **kvadrát modulu frekvenčnej prenosovej funkcie bol rovný 1** pri všetkých frekvenciách.

$$\left| G_{Y/W}(j\omega) \right|^2 = M^2(\omega) = M(\omega)M(-\omega) \stackrel{!}{=} 1$$

Po zavedení označenia: $G_O(j\omega) = U(\omega) + jV(\omega)$

1-71

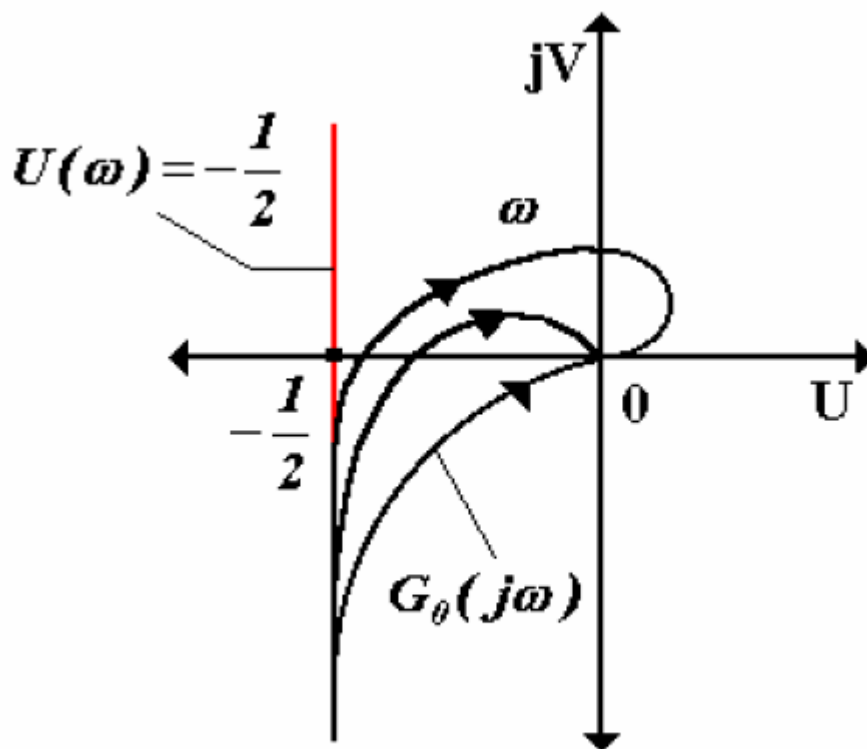
$$M^2(\omega) = \left| \frac{G_O(j\omega)}{1 + G_O(j\omega)} \right|^2 = \left| \frac{U(\omega) + jV(\omega)}{1 + U(\omega) + jV(\omega)} \right|^2 = \frac{U^2 + V^2}{1 + 2U + U^2 + V^2} \stackrel{!}{=} 1$$

Metóda optimálneho modulu – princíp (pokrač.)

$$M^2(\omega) = \frac{U^2 + V^2}{1 + 2U + U^2 + V^2} \stackrel{!}{=} 1$$

Podmienka sa splní ak:

$$1 + 2U = 0 \Rightarrow \text{Re}\{G_o(j\omega)\} = U(\omega) = -0.5$$



Frekvenčné charakteristiky v komplexnej rovine

Metóda optimálneho modulu – postup návrhu

Postup návrhu :

- Určíme **frekvenčnú prenosovú funkciu otvoreného regulačného obvodu**:

$$G_o(j\omega) = G(j\omega)G_R(j\omega)$$

- **Rozložíme na reálnu a imaginárnu zložku**, pričom funkcie $U(\omega)$ a $V(\omega)$ sú závislé od parametrov regulátora.

$$G_o(j\omega) = U(\omega) + jV(\omega)$$

- **Reálnu zložku položíme rovnú -0.5** :

$$U(\omega) = -0.5$$

- **Porovnaním koeficientov pri rovnakých mocninách ω získame rovnice pre výpočet parametrov regulátora.**

Metóda optimálneho modulu – odvodenie parametrov PID

Prenosová funkcia systému:

$$G(s) = K \frac{M(s)}{N(s)} = \frac{K}{N(s)/M(s)} = \frac{K}{1 + a_1 s + a_2 s^2 + \dots + a_n s^n}$$

Prenosová funkcia PID regulátora:

$$G_R(s) = r_0 + \frac{r_{-1}}{s} + r_1 s$$

1. Určíme frekvenčnú prenosovú funkciu ORO

$$s \approx j\omega \quad s^2 \approx -\omega^2 \quad s^3 \approx -j\omega^3 \quad s^4 \approx \omega^4$$

$$G_O(j\omega) = G(j\omega)G_R(j\omega) = \frac{K \left(r_0 + \frac{r_{-1}}{j\omega} + r_1 j\omega \right)}{1 + j\omega a_1 - \omega^2 a_2 - j\omega^3 a_3 + \omega^4 a_4 + j\omega^5 a_5 + \dots}$$

$$G_O(j\omega) = \frac{K \left(r_0 + j \left(\omega r_1 - \frac{r_{-1}}{\omega} \right) \right)}{1 - a_2 \omega^2 + a_4 \omega^4 - \dots + j(a_1 \omega - a_3 \omega^3 + a_5 \omega^5 - \dots)} \cdot \frac{1 - a_2 \omega^2 + a_4 \omega^4 - \dots - j(a_1 \omega - a_3 \omega^3 + a_5 \omega^5 - \dots)}{1 - a_2 \omega^2 + a_4 \omega^4 - \dots - j(a_1 \omega - a_3 \omega^3 + a_5 \omega^5 - \dots)}$$

Metóda optimálneho modulu – odvodenie parametrov PID (pokrač.)

2. Rozložíme na reálnu a imaginárnu zložku

$$\operatorname{Re}\{G_O(j\omega)\} = \frac{Kr_0(1 - a_2\omega^2 + a_4\omega^4 - \dots) + K\left(\omega r_1 - \frac{r_{-1}}{\omega}\right)(a_1\omega - a_3\omega^3 + \dots)}{(1 - a_2\omega^2 + a_4\omega^4 - \dots)^2 + (a_1\omega - a_3\omega^3 + a_5\omega^5 - \dots)^2}$$

3. Reálnu zložku položíme rovnú **-0.5**

$$U(\omega) = \frac{K(r_0 - r_{-1}a_1) + \omega^2 K(-a_2r_0 + a_1r_1 + a_3r_{-1}) + \omega^4 K(a_4r_0 - a_3r_1 - a_5r_{-1}) + \dots}{1 + \omega^2(a_1^2 - 2a_2) + \omega^4(a_2^2 + 2a_4 - 2a_1a_3) + \dots} = -0.5$$

4. Porovnaním koeficientov pri rovnakých mocninách ω získame rovnice pre výpočet parametrov regulátora

$$\omega^0 : r_0 - r_{-1}a_1 = -\frac{1}{2K}$$

$$\omega^2 : -a_2r_0 + a_1r_1 + a_3r_{-1} = -\frac{1}{2K}(a_1^2 - 2a_2)$$

$$\omega^4 : a_4r_0 - a_3r_1 - a_5r_{-1} = -\frac{1}{2K}(a_2^2 - 2a_1a_3 + 2a_4)$$



$$\begin{pmatrix} a_1 - 1 & 0 \\ a_3 - a_2 & a_1 \\ a_5 - a_4 & a_3 \end{pmatrix} \begin{pmatrix} r_{-1} \\ r_0 \\ r_1 \end{pmatrix} = \frac{1}{2K} \begin{pmatrix} 1 \\ -a_1^2 + 2a_2 \\ a_2^2 - 2a_1a_3 + 2a_4 \end{pmatrix}$$

1-75

Metóda optimálneho modulu – parametre regulátora

PID regulátor

$$G_R(s) = r_0 + \frac{r_{-1}}{s} + r_1 s$$

$$\begin{pmatrix} a_1 - 1 & 0 \\ a_3 - a_2 & a_1 \\ a_5 - a_4 & a_3 \end{pmatrix} \begin{pmatrix} r_{-1} \\ r_0 \\ r_1 \end{pmatrix} = \frac{1}{2K} \begin{pmatrix} 1 \\ -a_1^2 + 2a_2 \\ a_2^2 - 2a_1a_3 + 2a_4 \end{pmatrix}$$

PI regulátor

$$G_R(s) = r_0 + \frac{r_{-1}}{s}$$

$$\begin{pmatrix} a_1 & -1 \\ a_3 & -a_2 \end{pmatrix} \begin{pmatrix} r_{-1} \\ r_0 \end{pmatrix} = \frac{1}{2K} \begin{pmatrix} 1 \\ -a_1^2 + 2a_2 \end{pmatrix}$$

PD regulátor

$$G_R(s) = r_0 + r_1 s$$

$$\begin{pmatrix} -a_2 & a_1 \\ -a_4 & a_3 \end{pmatrix} \begin{pmatrix} r_0 \\ r_1 \end{pmatrix} = \frac{1}{2K} \begin{pmatrix} -a_1^2 + 2a_2 \\ a_2^2 - 2a_1a_3 + 2a_4 \end{pmatrix}$$

I regulátor

$$G_R(s) = \frac{r_{-1}}{s}$$

$$r_{-1} = \frac{1}{2K} \frac{1}{a_1}$$

Metóda optimálneho modulu pre systém s dopravným oneskorením

Lineárny spojitý systém:

$$G(s) = K \frac{\prod_{j=1}^m (1 + \tau_j s)}{\prod_{i=1}^n (1 + T_i s)} e^{-Ds}$$

$$p_k = \sum_{i=1}^n T_i^k - \sum_{j=1}^m \tau_j^k + D \delta_{1k}$$

kde koeficienty $\delta_{1k}=1$ pre $k=1$, inak $\delta_{1k}=0$

$$a_0 = 1$$

$$a_1 = p_1$$

$$a_2 = (p_1^2 - p_2)/2$$

$$a_3 = (p_1^3 - 3p_1p_2 + 2p_3)/6$$

$$a_4 = (p_1^4 - 6p_1^2p_2 + 8p_1p_3 + 3p_2^2 - 6p_4)/24$$

$$a_5 = (p_1^5 - 10p_1^3p_2 + 20p_1^2p_3 + 15p_1p_2^2 - 30p_1p_4 - 20p_2p_3 + 24p_5)/120$$

pokrač.
dosadením
do vzorcov
na str. 1-76,
vypočítame
parametre
regulátora

Metóda sumy časových konštánt pre systém s dopravným oneskorením

Určenie koeficientov spojitého regulátora je možné realizovať z prenosovej funkcie modelu riadeného procesu:

pričom
$$T_S = \sum_{i=1}^n T_i - \sum_{j=1}^m \tau_j + D, K_S = K$$

$$G(s) = K \frac{\prod_{j=1}^m (1 + \tau_j s)}{\prod_{i=1}^n (1 + T_i s)} e^{-Ds}$$

| Normálna verzia | | P | T_I | T_D |
|-----------------|-----|-----------|-----------|------------|
| | P | $1/K_s$ | - | - |
| | PD | $1/K_s$ | - | $0.33T_s$ |
| | PI | $0.5/K_s$ | $0.5T_s$ | - |
| | PID | $1/K_s$ | $0.66T_s$ | $0.167T_s$ |
| Rýchla verzia | PI | $1/K_s$ | $0.7T_s$ | - |
| | PID | $2/K_s$ | $0.8T_s$ | $0.194T_s$ |

$$G_R(s) = P \left(1 + \frac{1}{T_I s} + T_D s \right)$$

Inverzia dynamiky (metóda priamej syntézy)

Navrhujeme diskretný regulátor pre riadený systém s prenosovou funkciou 1. alebo 2. rádu:

$$G(s) = \frac{K}{s} e^{-Ds}$$

$$G(s) = \frac{K}{T_1 s + 1} e^{-Ds}$$

$$G(s) = \frac{K}{s(T_1 s + 1)} e^{-Ds}$$

$$G(s) = \frac{K}{(T_1 s + 1)(T_2 s + 1)} e^{-Ds}$$

$$G(s) = \frac{K}{T^2 s^2 + 2bTs + 1} e^{-Ds} = \frac{K}{(T_1 s + 1)(T_2 s + 1)} e^{-Ds}$$

Ak navrhujeme regulátor pre riadený systém s prenosovou funkciou 3. alebo vyššieho rádu, prenosovú funkciu redukuje na nižší rád

1-79

$$T_1 = T \left(b + \sqrt{b^2 - 1} \right)$$
$$T_2 = T \left(b - \sqrt{b^2 - 1} \right)$$

Redukcia n -tého rádu aperiodického systému

Ak navrhujeme diskretný regulátor pre riadený systém s prenosovou funkciou 3. alebo vyššieho rádu, prenosovú funkciu redukuje na nižší rád podľa tab.:

n

| $\frac{K}{(T_n s + 1)^n} e^{-D_n s}$ | | 1 | 2 | 3 | 4 | 5 | 6 |
|--------------------------------------|-------------------------|-------|-------|-------|-------|-------|-------|
| $\frac{K}{(T_1 s + 1)} e^{-D_1 s}$ | $\frac{T_1}{T_n}$ | 1 | 1.568 | 1.980 | 2.320 | 2.615 | 2.881 |
| | $\frac{D_1 - D_n}{T_n}$ | 0 | 0.552 | 1.232 | 1.969 | 2.741 | 3.537 |
| $\frac{K}{(T_2 s + 1)^2} e^{-D_2 s}$ | $\frac{T_2}{T_n}$ | 0.638 | 1 | 1.263 | 1.480 | 1.668 | 1.838 |
| | $\frac{D_2 - D_n}{T_n}$ | 0.352 | 0 | 0.535 | 1.153 | 1.821 | 2.523 |

Redukcia n -tého rádu aperiodického systému – príklad (1/2)

PR.: Systém je zadany prenosovou funkciou 3. rádu. Nahradte prenosovú funkciu prenosovou funkciou 2. rádu.

$$G(s) = \frac{1}{(s+1)^3} e^{-0.1s}$$

Prenosovú funkciu $G(s)$ nahradíme prenosovou funkciou 2. rádu – $G_1(s)$ podľa tabuľky z predchádzajúcej strany.

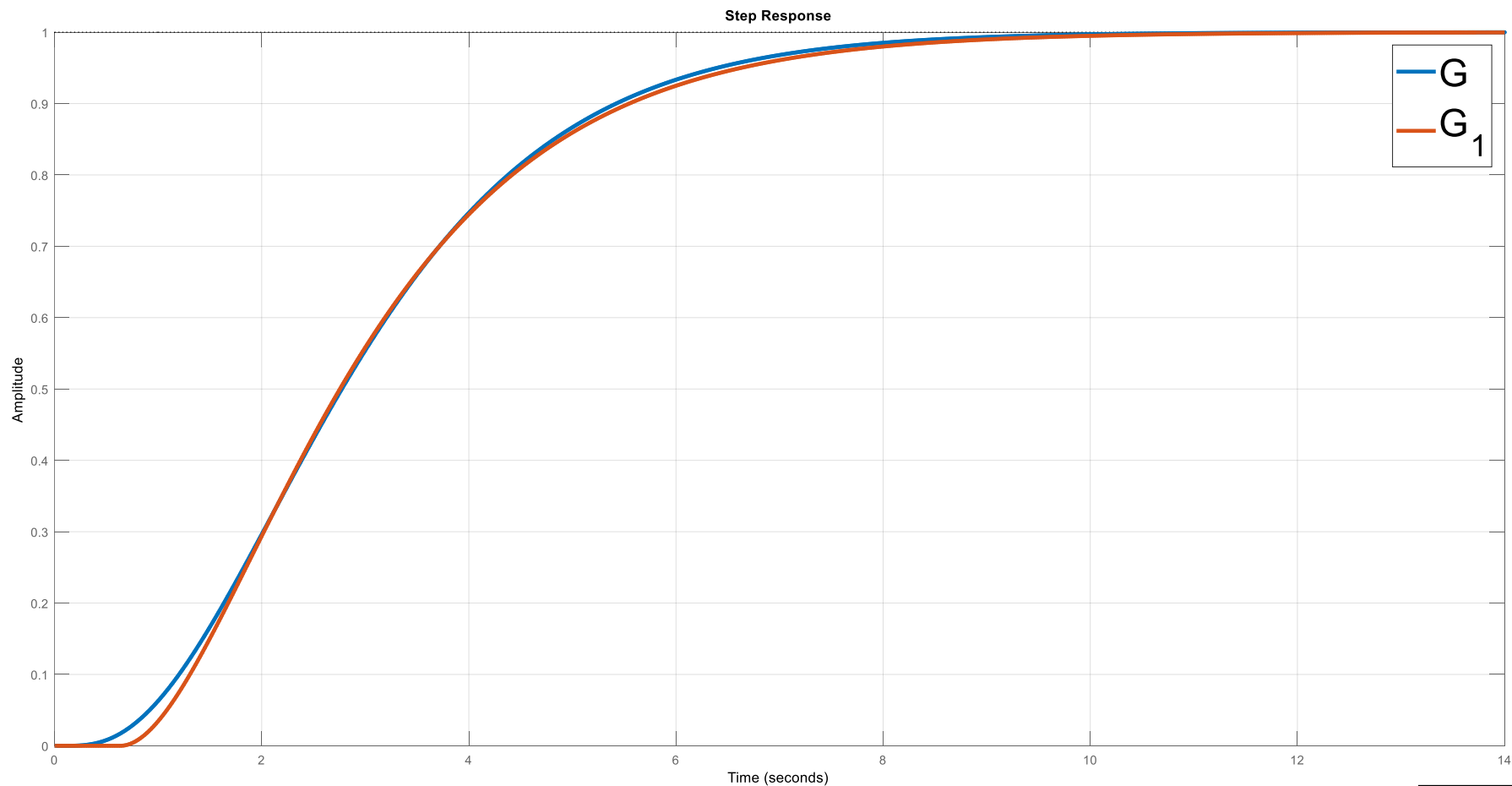
$$G(s) = \frac{1}{(s+1)^3} e^{-0.1s} \longrightarrow n=3, D_3=0.1, T_3=1$$

$$G_1(s) = \frac{K}{(T_2 s + 1)^2} e^{-D_2 s} \longrightarrow \begin{array}{l} \frac{T_2}{T_3} = 1.263 \\ \frac{D_2 - D_3}{T_3} = 0.535 \end{array} \longrightarrow \begin{array}{l} T_2 = 1.263 \\ D_2 = 0.635 \end{array}$$

$$G_1(s) = \frac{K}{(T_2 s + 1)^2} e^{-D_2 s} = \frac{1}{(1.263s + 1)^2} e^{-0.635s}$$

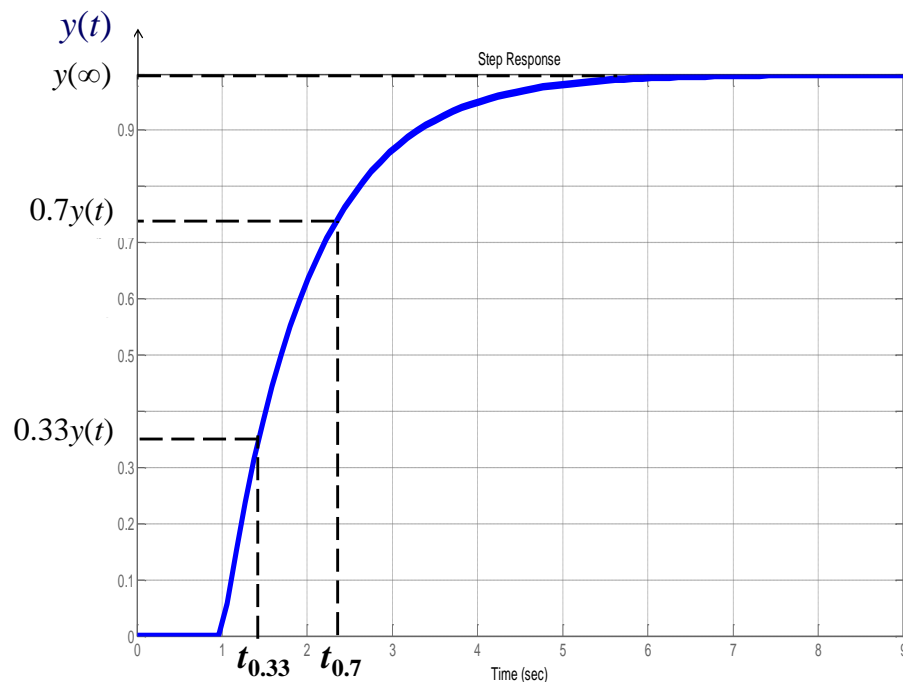
Redukcia n -tého rádu aperiodického systému – príklad (1/2)

Porovnanie prechodovej charakteristiky prenosovej funkcie 3. rádu - $G(s)$ s prenosovou funkciou 2. rádu – $G_1(s)$.



Získanie modelu z prechodovej char. aperiodického systému – príklad

Prechodová charakteristika systému



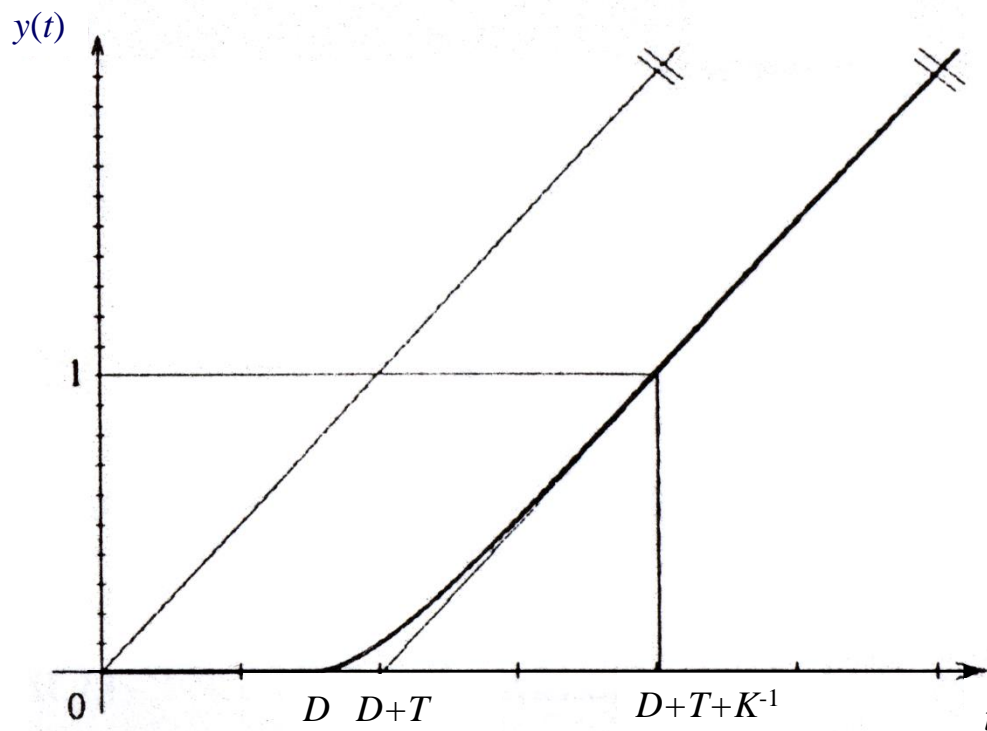
$$K = y(\infty) \quad \text{príp.} \quad K = \frac{\Delta y}{\Delta u}$$

$$\left. \begin{array}{l} T_1 = 1.245(t_{0.7} - t_{0.33}) \\ D_1 = 1.498t_{0.33} - 0.498t_{0.7} \end{array} \right\} \Rightarrow G(s) \approx \frac{K}{T_1 s + 1} e^{-D_1 s}$$

$$\left. \begin{array}{l} T_2 = 0.794(t_{0.7} - t_{0.33}) \\ D_2 = 1.937t_{0.33} - 0.937t_{0.7} \end{array} \right\} \Rightarrow G(s) \approx \frac{K}{(T_2 s + 1)^2} e^{-D_2 s}$$

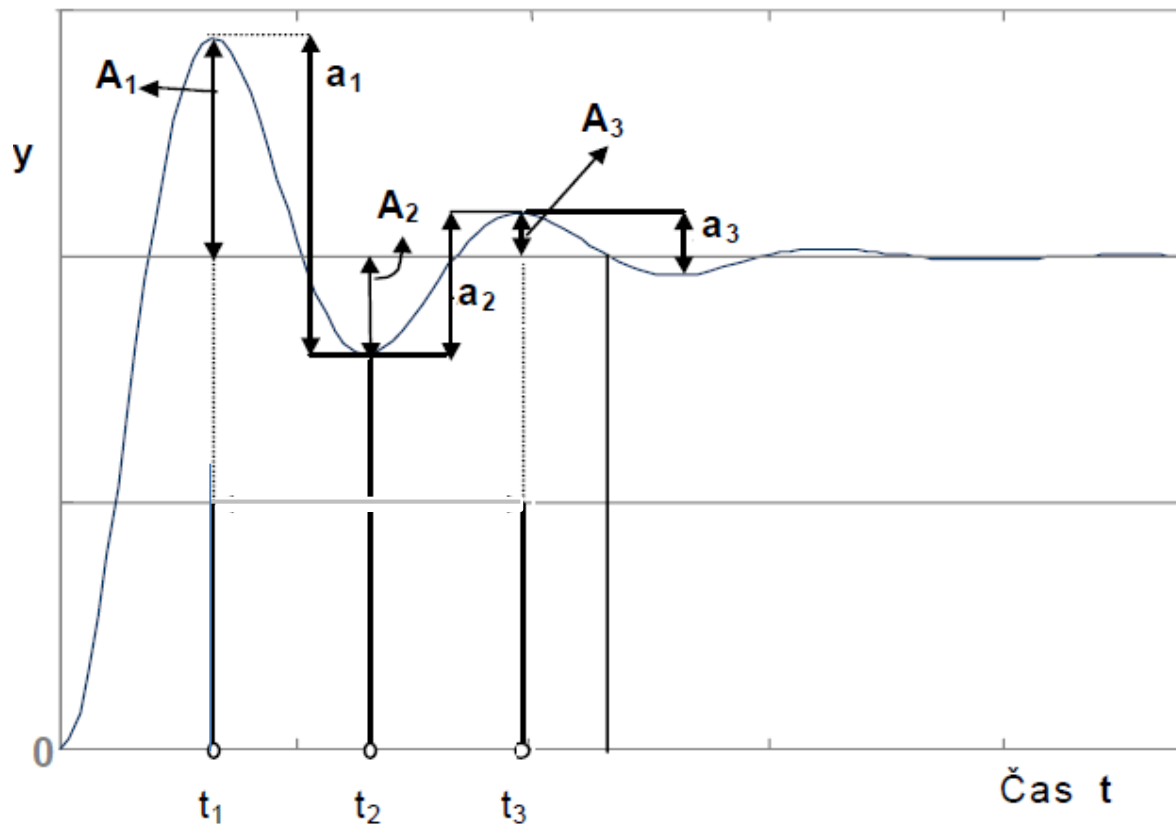
Získanie modelu z prechodovej char. astatického systému – príklad

$$G(s) = \frac{K}{s(Ts + 1)} e^{-Ds}$$



Redukcia n -tého rádu kmitavého systému, získanie modelu z prech. char. kmitavého systému

Prechodová charakteristika kmitavých dynamických systémov



$$G(s) = \frac{K}{T^2 s^2 + 2bTs + 1} e^{-Ds}$$

$$b = - \frac{\ln \frac{a_{i+1}}{a_i}}{\sqrt{\pi^2 + \ln^2 \frac{a_{i+1}}{a_i}}}$$

resp.

$$b = - \frac{\ln \frac{a_{i+2}}{a_i}}{\sqrt{4\pi^2 + \ln^2 \frac{a_{i+2}}{a_i}}}$$

q – počet uvažovaných úsekov

$$D = \frac{1}{q} \sum_{i=1}^q t_i - \frac{q+1}{2} (t_{q+1} - t_1)$$

$$T = \frac{1}{\pi q} (t_{q+1} - t_1) \sqrt{1 - b^2}$$

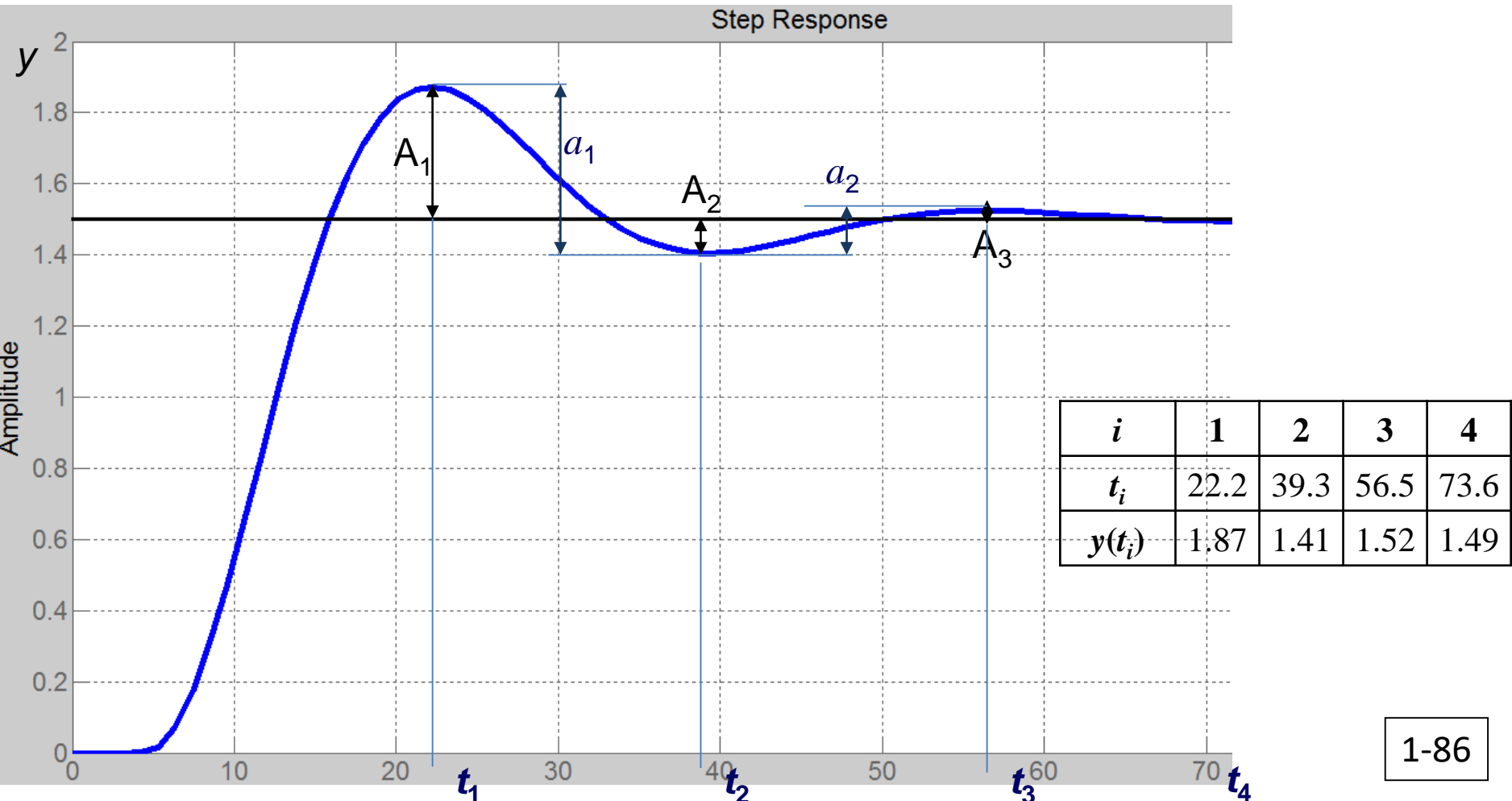
Redukcia n -tého rádu kmitavého systému – príklad (1/4)

PR. : Systém je zadaný prenosovou funkciou 3. rádu. Nahraďte prenosovú funkciu prenosovou funkciou 2. rádu.

$$G(s) = \frac{1.5}{25s^3 + 29s^2 + 5s + 1} e^{-4s}$$



$$G_1(s) = \frac{K}{T^2 s^2 + 2bTs + 1} e^{-Ds}$$



Redukcia n -tého rádu kmitavého systému – príklad (2/4)

$$a_i = |y(t_i) - y(t_{i+1})|, \quad i = 1, 2, 3$$

$$a_1 = |1.87 - 1.41| = 0.46$$

$$a_2 = |1.41 - 1.52| = 0.11$$

$$a_3 = |1.52 - 1.49| = 0.03$$

$$\frac{a_{i+1}}{a_i} : \frac{a_2}{a_1} = \frac{0.11}{0.46} = 0.24, \quad \frac{a_3}{a_2} = \frac{0.03}{0.11} = 0.27$$

$$\frac{a_{i+1}}{a_i} = 0.255 \rightarrow \text{stredná hodnota}$$

$$\frac{a_{i+2}}{a_i} : \frac{a_3}{a_1} = \frac{0.03}{0.46} = 0.07$$

$$b = -\frac{\ln \frac{a_{i+1}}{a_i}}{\sqrt{\pi^2 + \ln^2 \frac{a_{i+1}}{a_i}}} = 0.4$$

resp.

$$b = -\frac{\ln \frac{a_{i+2}}{a_i}}{\sqrt{4\pi^2 + \ln^2 \frac{a_{i+2}}{a_i}}} = 0.4$$

Redukcia n -tého rádu kmitavého systému – príklad (3/4)

q – počet uvažovaných úsekov ($q=3$)

$$T = \frac{1}{\pi q} (t_{q+1} - t_1) \sqrt{1 - b^2} = \frac{1}{3\pi} (73.6 - 22.2) \sqrt{1 - 0.4^2} \doteq 5$$

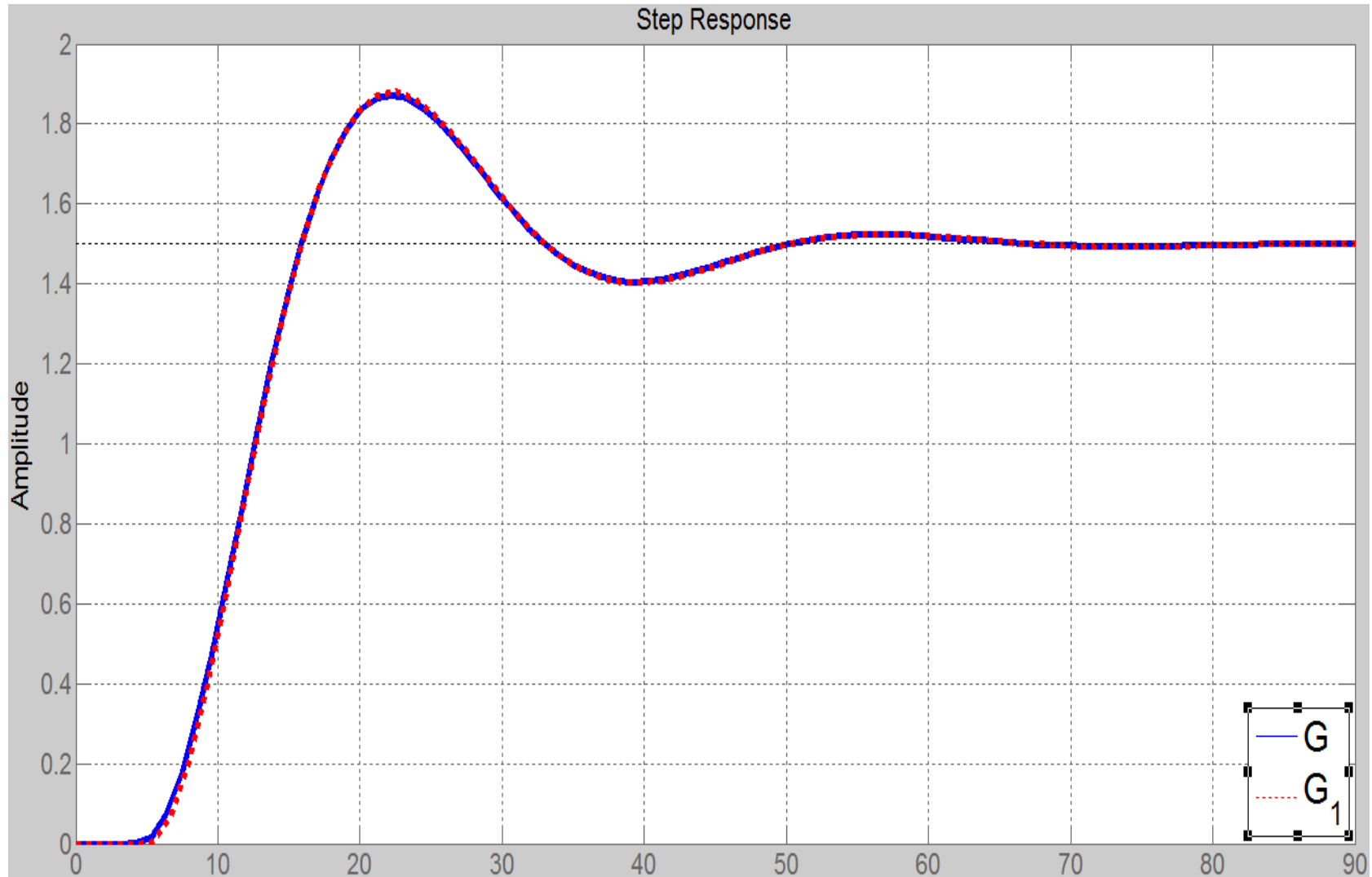
$$D = \frac{1}{q} \sum_{i=1}^q t_i - \frac{q+1}{2} (t_{q+1} - t_1) = \frac{1}{3} \left[(22.2 + 39.3 + 56.5) - \frac{4}{2} (73.6 - 22.2) \right] = 5.1$$

$$G_1(s) = \frac{K}{T^2 s^2 + 2bTs + 1} e^{-Ds} = \frac{1.5}{25s^2 + 4s + 1} e^{-5.1s}$$

Redukcia n -tého rádu kmitavého systému – príklad (4/4)

Porovnanie prechodovej charakteristiky prenosovej funkcie 3. rádu - $G(s)$ s prenosovou funkciou 2. rádu – $G_1(s)$.

1-89



Inverzia dynamiky – postup návrhu regulátora (1/3)

Postup pre získanie prenosovej funkcie **spojitého** regulátora je $T=0$
(T - perióda vzork., D – dopravné oneskorenie):

Pozn. ak $D=0$, volíme časovú konštantu URO – T_w a body 1., 2. vynecháme začíname bodom 3.

1. Vyberieme si požadovanú hodnotu preregulovania η pre URO. Tejto hodnote zároveň odpovedajú hodnoty koeficientov α a β podľa tabuľky:

| η | 0 | 0.05 | 0.1 | 0.15 | 0.2 | 0.25 | 0.3 | 0.35 | 0.40 | 0.45 |
|----------|-------|-------|-------|-------|-------|-------|-------|-------|-------|-------|
| α | 1.282 | 0.984 | 0.884 | 0.832 | 0.763 | 0.697 | 0.669 | 0.640 | 0.618 | 0.599 |
| β | 2.718 | 1.944 | 1.720 | 1.561 | 1.473 | 1.337 | 1.248 | 1.172 | 1.104 | 1.045 |

2. Vypočítame hodnotu zosilnenia ORO – a podľa vzorca:

$$a = \frac{1}{\alpha T + \beta D}$$

3. Na základe hodnoty zosilnenia a alebo zvolenej časovej konštanty URO - T_w a parametrov modelu riadeného procesu vypočítame parametre regulátora podľa nasledovnej tabuľky:

Inverzia dynamiky – postup návrhu regulátora (2/3)

parametre spojitého regulátora ($T=0$)

| $G(s)$ | Typ regulátora | $D=0$ P | $D>0$ P | T_I | T_D |
|---|----------------|----------------------------|-------------------|---------------------|---|
| $\frac{K}{s} e^{-Ds}$ | P | $\frac{2}{K(2T_w + T)}$ | $\frac{a}{K}$ | - | - |
| $\frac{K}{T_1 s + 1} e^{-Ds}$ | PI | $\frac{2T_I}{K(2T_w + T)}$ | $\frac{a}{K} T_I$ | $T_1 - \frac{T}{2}$ | - |
| $\frac{K}{s(T_1 s + 1)} e^{-Ds}$ | PD | $\frac{2}{K(2T_w + T)}$ | $\frac{a}{K}$ | - | $T_1 - \frac{T}{2}$ |
| $\frac{K}{(T_1 s + 1)(T_2 s + 1)} e^{-Ds}$ | PID | $\frac{2T_I}{K(2T_w + T)}$ | $\frac{a}{K} T_I$ | $T_1 + T_2 - T$ | $\frac{T_1 T_2}{T_1 + T_2} - \frac{T}{4}$ |
| $\frac{K}{T_1^2 s^2 + 2bT_1 s + 1} e^{-Ds}$ | PID | $\frac{2T_I}{K(2T_w + T)}$ | $\frac{a}{K} T_I$ | $2bT_1 - T$ | $\frac{T_1}{2b} - \frac{T}{4}$ |

Inverzia dynamiky – postup návrhu regulátora (3/3)

4. Parametre regulátora dosadíme do prenosovej funkcie $G_R(s)$ podľa tab.

| Typ regulátora | $G_R(s)$ |
|----------------|--|
| P | P |
| I | $\frac{1}{T_I s}$ |
| PI | $P \left(1 + \frac{1}{T_I s} \right)$ |
| PD | $P(1 + T_D s)$ |
| PID | $P \left(1 + \frac{1}{T_I s} + T_D s \right)$ |

PR. 1: Navrhните spojitý regulátor metódou inverzie dynamiky pre systém:

$$G(s) = \frac{0.75}{(4.35s + 1)(1.15s + 1)}$$

1-93

Keďže systém nemá dopravné oneskorenie ($D=0$), volíme časovú konštantu URO – T_w . Podľa tabuľky vypočítame parametre spojitého ($T=0$) PID regulátora.

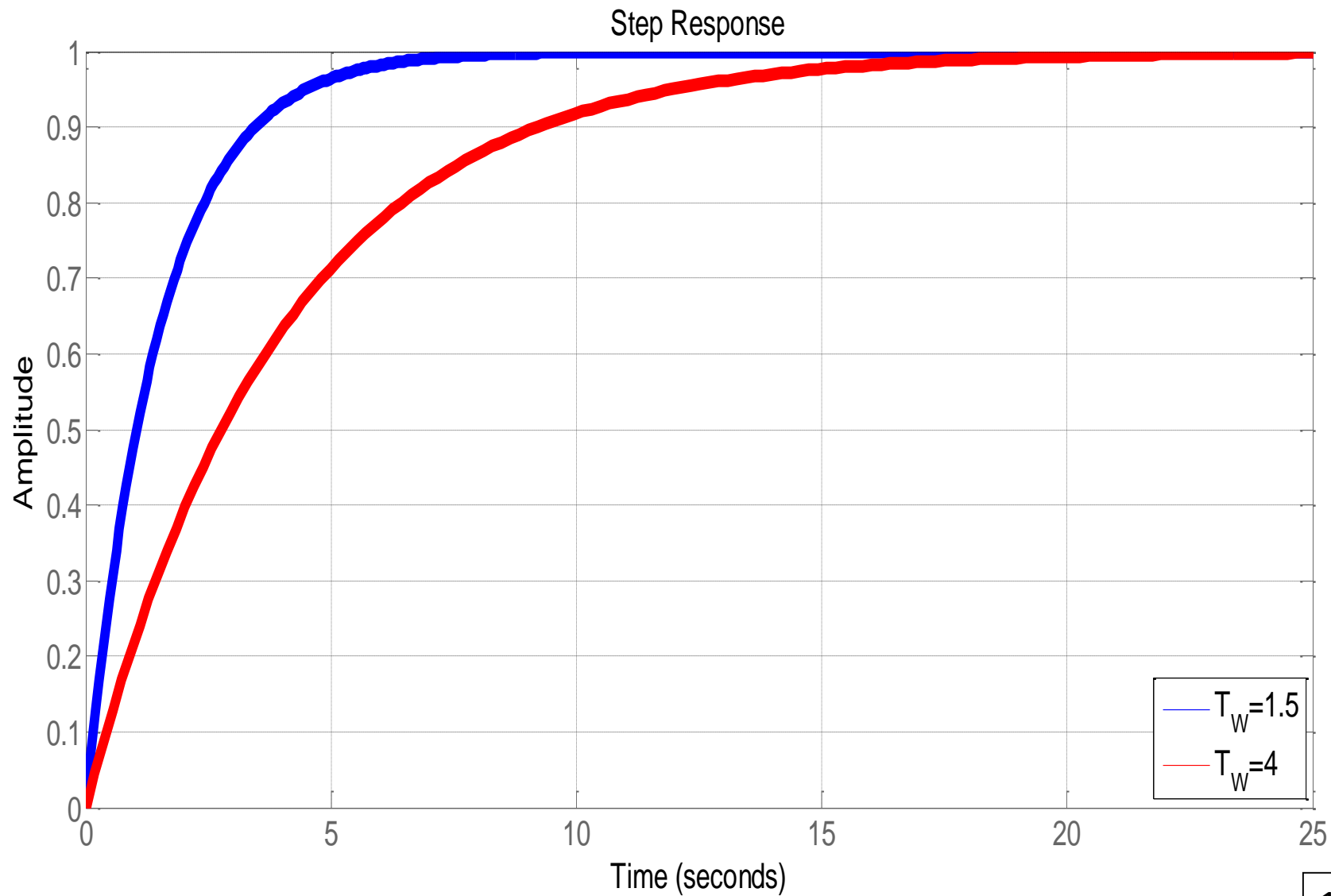
| $G(s)$ | Typ regulátora | $D=0$ P | $D>0$ P | T_I | T_D |
|-------------------------------------|----------------|----------------------------|------------------|-----------------|--|
| $\frac{K}{(T_1s+1)(T_2s+1)}e^{-Ds}$ | PID | $\frac{2T_I}{K(2T_w + T)}$ | $\frac{a}{K}T_I$ | $T_1 + T_2 - T$ | $\frac{T_1T_2}{T_1 + T_2} - \frac{T}{4}$ |

$$P = \frac{T_I}{KT_w} \doteq \frac{7.333}{T_w}$$

$$T_I = T_1 + T_2 = 5.5$$

$$T_D = \frac{T_1T_2}{T_1 + T_2} \doteq 0.9095$$

$$G_R(s) = P \left(1 + \frac{1}{T_I s} + T_D s \right)$$



PR. 2: Navrhnete spojitý regulátor metódou inverzie dynamiky pre systém s dopravným oneskorením:

$$G(s) = \frac{0.75}{(4.35s + 1)(1.15s + 1)} e^{-2s}$$

1-95

Navrhujeme **spojitý** regulátor, preto **$T=0$** . Keďže systém má dopravné oneskorenie (**$D=2$**), vyberieme si požadovanú hodnotu preregulovania 5% pre URO (**$\eta=0.05$**). Tejto hodnote zároveň odpovedajú hodnoty koeficientov **$\alpha=0.984$** a **$\beta=1.944$** . Vypočítame hodnotu zosilnenia ORO – **a** .

$$a = \frac{1}{\alpha T + \beta D} = 0.2572$$

Podľa tabuľky vypočítame parametre spojitého PID regulátora.

| $G(s)$ | Typ regulátora | $D=0$ P | $D>0$ P | T_I | T_D |
|--|----------------|----------------------------|-------------------|-----------------|---|
| $\frac{K}{(T_1s + 1)(T_2s + 1)} e^{-Ds}$ | PID | $\frac{2T_I}{K(2T_W + T)}$ | $\frac{a}{K} T_I$ | $T_1 + T_2 - T$ | $\frac{T_1 T_2}{T_1 + T_2} - \frac{T}{4}$ |

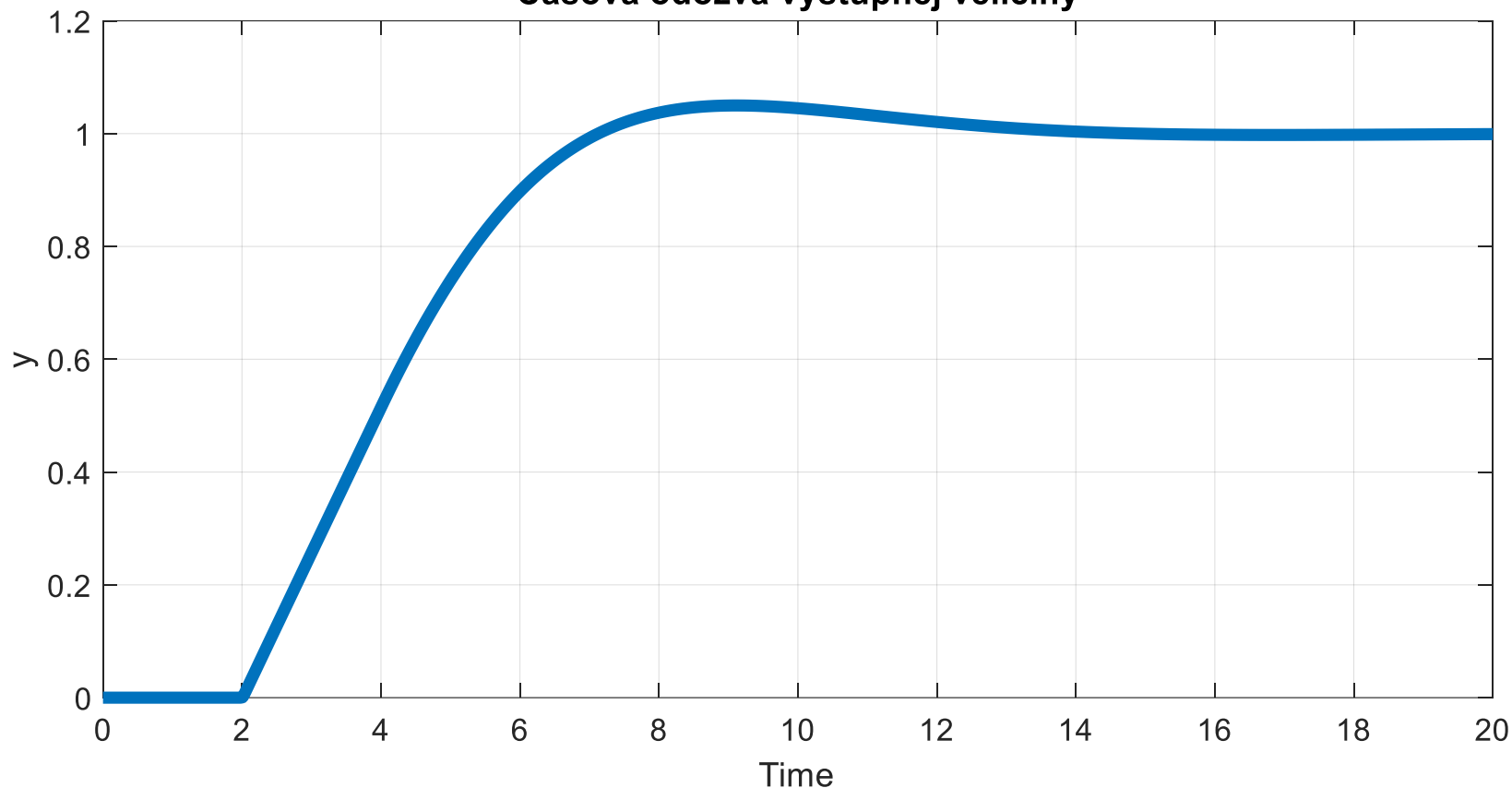
$$P = \frac{a}{K} T_I = 1.8861$$

$$T_I = T_1 + T_2 = 5.5$$

$$T_D = \frac{T_1 T_2}{T_1 + T_2} \doteq 0.9095$$

$$G_R(s) = P \left(1 + \frac{1}{T_I s} + T_D s \right)$$

Casova odozva vystupnej veliciny



stepinfo

RiseTime: 3.6234
SettlingTime: 12.0634
SettlingMin: 0.9032
SettlingMax: 1.0499
Overshoot: 4.9942
Undershoot: 0
Peak: 1.0499
PeakTime: 9.1034

Čo treba vedieť z 1. prednášky?

- Nakresliť základný regulačný obvod a popísať v ňom všetky veličiny
- Vysvetliť princíp spätnej väzby
- Opísať model riadeného systému, určiť jeho póly a nuly
- Definovať prechodovú charakteristiku systému, nakresliť priebeh (približne) pre systém 1. a 2. rádu
- Definovať frekvenčnú charakteristiku systému, napísať postup pre jej získanie v komplexnej rovine (nyquist) a v logaritmických súradniciach (bode)
- Napísať prenosovú funkciu ORO a URO (+ $G_{E/W}(s)$, $G_{U/W}(s)$)
- Napísať CHRURO

Čo treba vedieť z 1. prednášky?

- Vymenovať kritéria stability pre URO
- Vymenovať aké frekvenčné charakteristiky existujú (nakresliť osi, naznačiť charakteristiky pre stabilné a nestabilné systémy)
- Naznačiť postup získania Nyquistovej frekvenčnej charakteristiky pre ORO
- Naznačiť postup získania Bodeho frekvenčnej charakteristiky pre ORO
- Definíciu zjednodušeného Nyquistoveho kritéria stability
- Definíciu Bodeho kritéria stability
- Vymenovať ukazovatele kvality
- Definovať ukazovatele kvality v ustálenom stave
- Definovať ukazovatele kvality v prechodnom stave

Čo treba vedieť z 1. prednášky?

- Vymenovať aké tri zložky má PID regulátor
- Nakresliť prechodové charakteristiky P, I, D, PI, PD a PID regulátora
- Napísať rovnicu PID v časovej oblasti
- Napísať prenosovú funkciu PID (P, I, D, PI, PD) regulátora v interakčnom tvare aj zložkovom tvare
- Vedieť vzťahy medzi (parametrami) interakčným a zložkovým tvarom
- Napísať aké kritéria uvažujeme pri výbere vhodnej štruktúry regulátora pre vybrané systémy
- Určiť vhodnú štruktúru regulátora pre zadaný systém a $W(s)$
- Overiť stabilitu zadaného URO
- Pojednať o kvalite zadaného URO

Ktoré princípy metód pre návrh PID regulátora treba vedieť z 1. prednášky?

Metóda OPTIMÁLNEHO MODULU

Metóda sumy časových konštánt

Metóda inverzie dynamiky

- vedieť princíp návrhu jednotlivých metód
- vysvetliť postup pre výpočet parametrov reg.
- pre zadanú prenosovú funkciu systému určiť parametre regulátora